

Numerički model za dinamičku simulaciju rada solarnog spremnika tople vode

Beš, Borna

Master's thesis / Diplomski rad

2019

Degree Grantor / Ustanova koja je dodijelila akademski / stručni stupanj: **University of Zagreb, Faculty of Mechanical Engineering and Naval Architecture / Sveučilište u Zagrebu, Fakultet strojarstva i brodogradnje**

Permanent link / Trajna poveznica: <https://urn.nsk.hr/urn:nbn:hr:235:914651>

Rights / Prava: [In copyright/Zaštićeno autorskim pravom.](#)

Download date / Datum preuzimanja: **2024-07-31**

Repository / Repozitorij:

[Repository of Faculty of Mechanical Engineering and Naval Architecture University of Zagreb](#)



SVEUČILIŠTE U ZAGREBU
FAKULTET STROJARSTVA I BRODOGRADNJE

DIPLOMSKI RAD

Borna Beš

Zagreb, 2019.

SVEUČILIŠTE U ZAGREBU
FAKULTET STROJARSTVA I BRODOGRADNJE

Numerički model za dinamičku simulaciju rada solarnog spremnika tople vode

Mentor:
Prof. dr. sc. Damir Dović, dipl. ing.

Student:
Borna Beš

Zagreb, 2019.

Izjavljujem da sam ovaj rad izradio samostalno koristeći stečena znanja tijekom studija i navedenu literaturu.

Zahvala

Tijekom same razrade zadatka nailazio sam na niz problema stoga bih se posebno zahvalio svom mentoru prof. dr. sc. Damiru Doviću na razumijevanju, podršci i korisnim savjetima.

Zahvaljujem se i asistentu Ivanu Horvatu na pruženoj podršci i savjetima, te asistentu Alenu Cukrovu i kolegi Petru Filipoviću na savjetima u računalnom dijelu rada.

Osim toga, želio bi se zahvaliti svim prijateljima i rodbini, a posebno svojim roditeljima na pruženoj potpori te strpljenju koje su imali za mene tijekom svih ovih godina studiranja.

Borna Beš



SVEUČILIŠTE U ZAGREBU
FAKULTET STROJARSTVA I BRODOGRADNJE



Središnje povjerenstvo za završne i diplomske ispite
Povjerenstvo za diplomske ispite studija strojarstva za smjerove:
procesno-energetski, konstrukcijski, brodostrojarski i inženjersko modeliranje i računalne simulacije

| | |
|--|--------|
| Sveučilište u Zagrebu Fakultet strojarstva i brodogradnje | |
| Datum | Prilog |
| Klasa: | |
| Ur. broj: | |

DIPLOMSKI ZADATAK

Student: **Borna Beš** Mat. br.: 0035186164

Naslov rada na hrvatskom jeziku: **Numerički model za dinamičku simulaciju rada solarnog spremnika tople vode**

Naslov rada na engleskom jeziku: **Numerical Model for Dynamic Simulation of Solar Storage Tank**

Opis zadatka:

U sklopu diplomskog rada potrebno je razviti numerički model za dinamičku simulaciju rada akumulacijskog spremnika solarnog toplovodnog sustava za pripremu potrošne tople vode. Simulacije je potrebno provesti u računalnom programu ANSYS Fluent.

Model mora obuhvatiti periode sa i bez odvođenja potrošne tople vode iz spremnika. Analize provesti za zimski i ljetni režim rada solarnog sustava.

Zapreminu spremnika i nazivni toplinski učin izmjenjivača solarnog kruga i pomoćnog grijajuća prilagoditi odabranom solarnom sustavu i dnevnoj potrošnji potrošne tople vode.

Rezultate simulacija usporediti s rezultatima proračuna spremnika tople vode prema normi HRN EN 15316-5:2017, satna metoda, s podjelom spremnika na više volumnih dijelova.

U radu je potrebno navesti korištenu literaturu i eventualno dobivenu pomoć.

Zadatak zadan:

15. studenog 2018.

Datum predaje rada:

17. siječnja 2019.

Predviđeni datum obrane:

23., 24. i 25. siječnja 2019.

Zadatak zadao:

Prof. dr. sc. Damir Dović

Predsjednica Povjerenstva:

T. Lulić
Prof. dr. sc. Tanja Jurčević Lulić

SADRŽAJ

| | | |
|--------|---|----|
| 1. | UVOD | 1 |
| 2. | ENERGIJA SUNCA | 2 |
| 2.1. | Sunčev zračenje | 3 |
| 3. | SUNČANI TOPLOVODNI SUSTAVI ZA PRIPREMU PTV-A | 5 |
| 4. | ZAKONI DINAMIKE FLUIDA..... | 7 |
| 4.1. | Turbulentno strujanje..... | 8 |
| 4.2. | Određivanje turbulentne viskoznosti | 9 |
| 4.3. | Model strujanja u blizini stjenke | 10 |
| 5. | DISKRETIZACIJA OSNOVNIH JEDNADŽBI DINAMIKE FLUIDA | 12 |
| 5.1. | Algoritam rješavanja diskretiziranih jednadžbi | 13 |
| 5.2. | Interpolacijska shema tlaka | 13 |
| 5.3. | Korekcije tlaka i brzine..... | 13 |
| 5.4. | Courantov broj | 14 |
| 6. | ZAPREMNINA SPREMNIKA I TOPLINSKI UČIN IZMJENJIVAČA SOLARNOG KRUGA I POMOĆNOG GRIJAČA..... | 15 |
| 6.1. | Satna simulacija sustava | 16 |
| 6.1.1. | Upadno zračenje na kolektor | 16 |
| 6.1.2. | Satna potrošnja PTV-a | 17 |
| 6.1.3. | Efikasnost pločastog kolektora..... | 18 |
| 6.1.4. | Prikupljena energija na kolektoru | 19 |
| 6.1.5. | Energija odvedena iz spremnika | 19 |
| 6.1.6. | Akumulirana energija u spremniku | 19 |
| 6.1.7. | Prirast temperature u spremniku | 20 |
| 6.1.8. | Energija pomoćnog grijajuća..... | 20 |
| 6.2. | Rezultati satne simulacije | 20 |
| 7. | RAČUNALNA SIMULACIJA | 23 |

| | | |
|--------|--|----|
| 7.1. | Geometrija spremnika..... | 23 |
| 7.2. | Generiranje mreže..... | 24 |
| 7.3. | Rubni uvjeti | 25 |
| 8. | PRORAČUN SPREMNIKA PREMA NORMI HRN EN 15316 – 5:2017 | 26 |
| 9. | REZULTATI SIMULACIJE..... | 29 |
| 9.1. | Ljetni režim rada spremnika | 29 |
| 9.1.1. | Inicijalizacija ($t=0$ min) | 30 |
| 9.1.2. | Period sa potrošnjom PTV-a (od $t=0$ min do $t=8$ min) | 33 |
| 9.1.3. | Period bez potrošnje PTV-a (od $t=8$ min do $t= 60$ min) | 37 |
| 9.2. | Zimski režim rada solarnog spremnika | 41 |
| 9.2.1. | Inicijalizacija ($t = 0$ min) | 41 |
| 9.2.2. | Period sa potrošnjom PTV-a (od $t=0$ min do $t=8$ min) | 45 |
| 9.2.3. | Period bez potrošnje PTV-a (od $t=8$ min do $t= 60$ min) | 49 |
| 10. | STUPANJ EFIKASNOSTI KOLEKTORA..... | 54 |
| 11. | ZAKLJUČAK | 60 |

POPIS SLIKA

| | |
|---|----|
| Slika 1. Sunčeve zračenje na Zemlju i pretvorba u druge oblike energije [2] | 3 |
| Slika 2. Sustav s jednim spremnikom za pripremu PTV-a [2]..... | 6 |
| Slika 3 Prikaz brzina u turbulentnom graničnom sloju u funkciji udaljenosti od stjenke dana u logaritamskoj skali [5]..... | 11 |
| Slika 4. Akumulacijski spremnik Wolf SEM – 300, FSB Zagreb | 15 |
| Slika 5 Primjer relativne satne potrošnje PTV-a u kućanstvu tijekom dana [2] | 17 |
| Slika 6. Mjerene vrijednosti efikasnosti pločastog kolektora i regresijski polinom (FSB) [2] | 18 |
| Slika 7. Dvodimenzionalna geometrija spremnika | 24 |
| Slika 8. Izgled mreže u blizini ulaza u spremnik i oko izmjenjivača..... | 25 |
| Slika 9. Prikaz podjele spremnika na 13 segmenata jednakih volumena..... | 26 |
| Slika 10. Shematski prikaz vremenske trake računalne simulacije..... | 29 |
| Slika 11. Temperaturno polje u spremniku dobiveno inicijalizacijom uz ljetnom režimu rada solarnog spremnika | 30 |
| Slika 12. Temperatura vode po visini spremnika nakon inicijalizacije za ljetni režim rada solarnog spremnika | 31 |
| Slika 13. Dijagram uprosječene inicijalne temperature po segmentima spremnika u ljetnom režimu rada koje su dobivene računalnom simulacijom | 33 |
| Slika 14. Temperaturno polje i polje brzina strujanja u spremniku nakon 8 minuta potrošnje PTV-a u ljetnom režimu rada solarnog spremnika..... | 34 |
| Slika 15. Temperatura vode po visini spremnika nakon potrošnje PTV-a..... | 35 |
| Slika 16. Usporedba temperature vode po segmentima dobivenih računalnom simulacijom i izračunatih prema normi..... | 37 |
| Slika 17. Temperaturno polje u spremniku nakon 52 minute bez potrošnje PTV-a u ljetnom režimu rada | 38 |
| Slika 18. Temperature vode po visini spremnika nakon 52 minute zagrijavanja bez potrošnje PTV-a za ljetni režim rada | 39 |
| Slika 19. Usporedba srednje temperature vode po segmentima dobivenih računalnom simulacijom i izračunatih prema normi nakon 52 minute bez potrošnje PTV-a u ljetnom režimu rada | 41 |
| Slika 20. Temperaturno polje u spremniku dobiveno inicijalizacijom za zimski režim rada solarnog spremnika | 42 |

| | |
|---|----|
| Slika 21. Temperatura vode po visini spremnika nakon inicijalizacije za zimski režim rada solarnog spremnika | 43 |
| Slika 22. Dijagram uprosječene inicijalne temperature po segmentima spremnika u zimskom režimu rada koje su dobivene računalnom simulacijom | 45 |
| Slika 23. Prikaz temperaturnog polja u spremnika nakon 8 minuta potrošnje PTV-a u zimskom režimu rada | 46 |
| Slika 24. Dijagramske prikaze temperature vode po visini spremnika nakon 8 minuta potrošnje PTV-a u zimskom režimu rada..... | 47 |
| Slika 25. Usporedba srednje temperature vode po segmentima dobivene računalnom simulacijom i izračunatih prema normi nakon 8 minute potrošnje PTV-a u zimskom režimu rada | 49 |
| Slika 26. Temperaturno polje u spremniku nakon 52 minute zagrijavanja solarnim i pomoćnim grijaćima bez potrošnje PTV-a u zimskom režimu rada..... | 50 |
| Slika 27. Dijagramske prikaze temperature vode po visini spremnika nakon 52 minute bez potrošnje PTV-a u zimskom režimu rada..... | 51 |
| Slika 28. Usporedba srednje temperature vode po segmentima dobivene računalnom simulacijom i izračunatih prema normi nakon 52 minute bez potrošnje PTV-a u zimskom režimu rada | 53 |
| Slika 29. Promjena temperature radne tvari kolektorskog kruga prolaskom kroz izmjenjivač u spremniku (vrijednost temperature potrošne vode je dobivena računalnom simulacijom). | 55 |
| Slika 30. Promjena temperature radne tvari kolektorskog kruga prolaskom kroz izmjenjivač u spremniku (vrijednost temperature potrošne vode je dobivena prema normi)..... | 56 |
| Slika 31. Promjena temperature radne tvari kolektorskog kruga prolaskom kroz izmjenjivač u spremniku (vrijednost temperature potrošne vode je dobivena klasičnim termodinimačkim proračunom). | 57 |
| Slika 32. Promjena temperature radne tvari kolektorskog kruga prolaskom kroz izmjenjivač u spremniku (vrijednost temperature PTV-a je dobivena prema normi (satna))..... | 58 |

POPIS TABLICA

| | |
|---|----|
| Tablica 1. Satne vrijednosti upadnog sunčevog zračenja na nagnutu plohu kolektora [2] | 16 |
| Tablica 2. Tablični prikaz satne potrošnje PTV-a peteročlanog kućanstva | 17 |
| Tablica 3 Satne vrijednosti efikasnosti pločastog kolektora za siječanj i srpanj | 18 |
| Tablica 4. Tablični prikaz rezultata satne simulacije za siječanj | 21 |
| Tablica 5. Tablični prikaz rezultata satne simulacije za srpanj | 21 |
| Tablica 6 Tablični prikaz inicijalne temperatute vode na pojedinim visinama u ljetnom režimu rada solarnog spremnika..... | 31 |
| Tablica 7. Tablični prikaz osrednjih inicijalnih temperaturi vode po segmentima spremnika u ljetnom režimu rada..... | 32 |
| Tablica 8. Tablični prikaz temperaturi vode na pojedinim visinama spremnika..... | 35 |
| Tablica 9. Tablični prikaz srednje temperature vode po segmentima spremnika izračunatih računalnom simulacijom i prema normi nakon potrošnje PTV-a u ljetnom režimu rada | 36 |
| Tablica 10. Tablični prikaz temperature vode po visini spremnika nakon 52 minute bez potrošnje PTV-a u ljetnom režimu rada | 39 |
| Tablica 11. Tablični prikaz temperature vode nakon 52 minute bez potrošnje PTV-a po segmentima spremnika izračunatih računalnom simulacijom i prema normi | 40 |
| Tablica 12. Tablični prikaz inicijalne temperaturi vode po visini spremnika u zimskom režimu rada solarnog spremnika | 43 |
| Tablica 13. Tablični prikaz osrednjih inicijalnih temperaturi vode po segmentima spremnika za zimski režim rada solarnog spremnika..... | 44 |
| Tablica 14. Tablični prikaz temperature vode po visini spremnika nakon 8 minuta potrošnje PTV-a u zimskom režimu rada..... | 47 |
| Tablica 15. Tablični prikaz vrijednosti temperature vode po segmentima nakon 8 minuta potrošnje PTV-a u zimskom režimu rada spremnika izračunatih računalnom simulacijom i prema normi | 48 |
| Tablica 16. Tablični prikaz temperature vode po visini spremnika nakon 52 minute bez potrošnje PTV-a u zimskom režimu rada..... | 51 |
| Tablica 17. Tablični prikaz vrijednosti temperature vode po segmentima nakon 52 minute bez potrošnje PTV-a u zimskom režimu rada spremnika izračunatih računalnom simulacijom i prema normi | 52 |

Tablica 18. Usporedba stupnjeva efikasnosti pločastog i vakumskog kolektora u slučajevima kada se u proračun ulazilo sa temperaturom potrošne vode dobivene računalnom simulacijom, računom prema normi i klasičnim termodinamičkim proračunom. 59

POPIS OZNAKA

| Oznaka | Mjerna jedinica | Opis |
|-----------------|---------------------------------|--|
| A_{kol} | m^2 | površina kolektora |
| A_i | m^2 | površina izmjenjivačke površine u segmentu i |
| a | m^2/s | koeficijent temperaturne vodljivosti |
| c_p | $\text{J}/(\text{kgK})$ | specifični toplinski kapacitet pri konstantnom tlaku |
| c_w | $\text{J}/(\text{kgK})$ | specifični toplinski kapacitet vode |
| C_D | | bezdimenzijska funkcija od R_t |
| C_μ | | bezdimenzijska funkcija od R_t |
| f_i | m/s^2 | specifična masena sila u smjeru osi x_i |
| \bar{G} | W/m^3 | generacija turbulentne kinetičke energije |
| G_{sun} | Wh | energija sunčevog upadnog zračenja |
| h | m | visina spremnika |
| k | m^2/s^2 | turbulentna kinetička energija |
| k | $\text{W}/(\text{m}^2\text{K})$ | Koeficijent prolaza topline |
| \dot{m} | kg/s | maseni protok PTV-a |
| \dot{m}_{kol} | kg/s | maseni protok radne tvari u kolektoru |
| p | Pa | tlak |
| p_{eff} | Pa | efektivni tlak |
| Q_{kol} | J, Wh | energija koju prikupi kolektor |
| Q_{PTV} | J, Wh | energija isporučene tople vode |
| Q_{sprem} | J, Wh | energija koja je akumulirana u spremniku |
| Q_{pom} | J, Wh | energija pomoćnog grijača |
| $Q_{t+1,i}$ | J, Wh | energija koja se unosi u segment i |
| $Q_{sto,ls,i}$ | J, Wh | gubici energije u segmentu i kroz stjenke spremnika |
| S_T | W/m^3 | funkcija disipacije energije |
| S | | izvorni član |
| T | $\text{K}, {}^\circ\text{C}$ | temperatura |
| t | s | vrijeme |
| u_j | m/s | brzina fluida u smjeru osi x_j |
| u_1^+ | | bezdimenzionalna brzina |

| | | |
|---------------------------|--|--|
| V_{sprem} | m^3 | volumen spremnika |
| $V_{sto;use;W}$ | m^3 | volumen isporučene vode |
| x_j, x_i | m | prostorna koordinata |
| x_2^+ | | bezdimenzionalna udaljenost |
| $\Delta \vec{s}$ | | vektor pomaka iz središta volumena prema središtu plohe |
| $\Delta \vartheta$ | ${}^\circ\text{C}$ | pirast temperature u spremniku |
| ε | m^2/s^3 | disipacija turbulentne kinetičke energije |
| ϕ | $\text{K}, \text{Pa}, \text{m/s}\dots$ | opća zavisna varijabla |
| $\Phi_{sto;vol;i}$ | W | toplinski tok koji se unosi u segment i |
| $\nabla \phi_p$ | | gradijent zavisne varijable ϕ |
| η_{kol} | | stupanj efikasnosti kolektora |
| Γ | | koeficijent difuzije |
| μ | $\text{Pa}\cdot\text{s}$ | koeficijent dinamičke viskoznosti |
| μ_t | $\text{Pa}\cdot\text{s}$ | turbulentna viskoznost |
| ν | m^2/s | kinematička viskoznost |
| ρ | kg/m^3 | gustoća |
| σ_k | | turbulentni Prandtl-ov broj za k |
| σ_ε | | turbulentni Prandtl-ov broj za ε |
| τ_{stij} | N/m^2 | viskozno tangencijalno naprezanje na stijenci |
| $\vartheta_{f,sr}$ | ${}^\circ\text{C}$ | srednja temperatura radne tvari kolektorskog kruga |
| $\vartheta_{kol;izlaz;i}$ | ${}^\circ\text{C}$ | temperatura radne tvari kolektorskog kruga na izlazu iz izmjenjivača topline |
| $\vartheta_{kol;ulaz;i}$ | ${}^\circ\text{C}$ | temperatura radne tvari kolektorskog kruga na ulazu u izmjenjivač topline |
| $\vartheta_{kol;sr;i}$ | ${}^\circ\text{C}$ | srednja temperatura radne tvari u izmjenjivaču topline |
| ϑ_z | ${}^\circ\text{C}$ | temperatura vanjskog zraka |
| ϑ_{s1} | ${}^\circ\text{C}$ | temperatura vode u spremniku na početku sata |
| ϑ_{s2} | ${}^\circ\text{C}$ | temperatura vode u spremniku na kraju sata |
| ϑ_{svj} | ${}^\circ\text{C}$ | temperatura ulazne vode u spremnik |
| ϑ_{set} | ${}^\circ\text{C}$ | postavna temperatura vode u spremniku |
| $\vartheta_{sto;vol;i}$ | ${}^\circ\text{C}$ | temperatura vode u segmentu i |
| $\vartheta_{sr;i}$ | ${}^\circ\text{C}$ | Srednja temperatura vode u segmentu i |
| ϑ | ${}^\circ\text{C}$ | temperatura |

SAŽETAK

Napravljen je numerički model dinamičke simulacije solarnog spremnika za zimski i ljetni režim rada koji uključuje period sa potrošnjom i bez potrošnje PTV-a. Dobiveni rezultati temperaturnog polja koje je izračunato u programu ANSYS Fluent su uspoređeni sa vrijednostima dobivenim proračunom prema normi HRN EN 15316-5:2017 (podjela na više kontrolnih volumena). Napravljena je analiza utjecaja na stupanj efikasnosti pločastog i vakuumskog kolektora u slučajevima kada se u proračun izmjene topline između radne tvari kolektorskog kruga i potrošne vode ulazilo sa vrijednostima PTV-a dobivenim računalnom simulacijom, prema normi i klasičnim termodinamičkim proračunom.

Ključne riječi: Solarni akumulacijski spremnik, stupanj iskoristivosti , kolektor, temperatura, izmenjivač topline

SUMMARY

A numerical model of a dynamic simulation of a solar storage tank was made, for winter and summer working mode, including a period with and without consumption of DHW. The results of the temperature field calculated in the ANSYS Fluent program are compared with the values obtained by the calculation according to the HRN EN 15316-5: 2017 norm (division into multiple control volumes). An analysis was made of the impact on the degree of efficiency of the plate and vacuum collectors in cases when the calculation of the heat exchange between the heat transfer fluid and consumable water entered the DHW values obtained by computer simulation, according to the norm and the classical thermodynamic calculation.

Key words: Solar storage tank, degree of usability, collector, temperature, heat exchanger

1. UVOD

U sklopu diplomskog rada je razvijen numerički model za dinamičku simulaciju rada akumulacijskog spremnika solarnog toplovodnog sustava za pripremu potrošne tople vode. Odabran je solarni sustav sa prisilnom cirkulacijom radnog fluida u solarnom krugu koji ima jedan akumulacijski spremnik za pripremu PTV-a (potrošna topla voda) te je proveden proračun satne simulacije u karakterističnom danu za siječanj i srpanj. Tim se proračunom na temelju potrošnje PTV-a i količine dozračene energije na kolektorsku površinu računa odvedena i dovedena energija u spremnik tijekom jednog sata. Slijedom toga se izračunava promjena temperature potrošne vode u spremniku tijekom svakog sata i energija potrebna za dogrijavanje na postavljenu temperaturu, zatim se određuje nazivni toplinski učin pomoćnog grijaća. Proračun se vodi iterativno te se po potrebi podešavaju površina kolektora i zapremnina spremnika ukoliko proračun ne zadovoljava .

Proračunom satne simulacije spremnika dobivaju se srednje vrijednosti temperature vode u akumulacijskom spremniku što nam ne daje jasnu sliku strujanja i temperaturnog polja u pojedinim dijelovima spremnika. Proračun također ne uzima u obzir geometriju spremnika i izmjenjivačkih površina koje utječu na izgled temperaturnog polja unutar spremnika.

Za jasniji uvid u dinamičke karakteristike unutar spremnika razvijen je numerički model čija su rješenja dobivena računalnom simulacijom. Računalna simulacija polja dinamika fluida je danas sve raširenija te je u većini slučajeva povoljnija od izrade prototipova. Simulacija je provedena za ljetni i zimski režim rada sa potrošnjom i bez potrošnje PTV-a. Simulacija je provedena u računalnom programu ANSYS Fluent. Dobiveni rezultati dinamičke simulacije su na kraju uspoređeni sa rezultatima satnog proračuna spremnika tople vode podijeljenog na više kontrolnih volumena sukladno normi HRN EN 15316-5:2017.

Dobiveni rezultati temperaturnog polja u spremniku su posebno zanimljivi u pogledu utjecaja na efikasnost kolektora. Za veću efikasnost kolektora potrebno je da radni fluid iz solarnog kruga izlazi iz spremnika sa što nižom temperaturom. Teži se tome da se što više topline izmjeni između radne tvari iz solarnog kruga i potrošne vode uz što manju razliku temperature radnog medija i vode u spremniku, stoga je zanimljivo vidjeti kako izgleda temperaturno polje u donjem dijelu spremnika gdje se i nalaze izmjenjivači solarnog kruga.

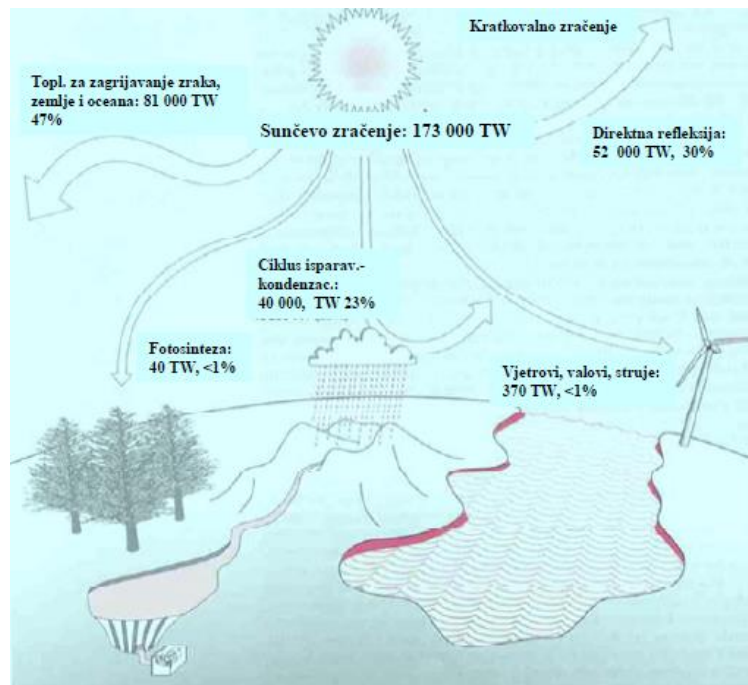
2. ENERGIJA SUNCA

Porastom ukupne ljudske populacije na planeti Zemlji rastu i potrebe za energetskom opskrbom. Energija se u raznim oblicima koristi za aktivnosti u transportu, industriji i zgradarstvu. Danas se gotovo 81.5% svjetske energetske potražnje zadovoljava iz pretvaranja kemijske energije fosilnih goriva u toplinsku koja se potom može pretvarati u druge oblike (mehaničku i električnu), 13.6% iz obnovljivih izvora te 4.9% iz nuklearne energije [3]. Zbog povećane eksploatacije i smanjenja rezervi fosilnih goriva u obzir sve više dolazi dobivanje energije iz obnovljivih izvora energije (energija vjetra, hidroenergija, energija valova, morskih struja, solarna, geotermalna, biomasa). Postoje i ekološki razlozi zbog kojih se teži upotrebi obnovljivih izvora energije. Izgaranjem fosilnih goriva oslobađa se ugljik koji odlazi u atmosferu u obliku stakleničkog plina ugljikovog dioksida. Pojačava se efekt staklenika te dolazi do povećanja globalne temperature na Zemlji koje izaziva negativne efekte na biosferu. Razvojem tehnologija i inovativnih rješenja, energija iz obnovljivih izvora iskorištavaju se efikasnije i ekonomičnije unatoč tome što su konvencionalna fosilna goriva i dalje jeftinija i neizostavna pogotovo u industriji i transportu.

Energija sunca koja dolazi do zemlje je praktički beskonačna u odnosu na globalne potrebe za energijom, ali postoje problemi u njenom iskorištavanju. Sunčeva energija je inermitentnog karaktera i male energetske gustoće te je zbog toga vrlo nepouzdani oblik energije. Tri su glavna načina korištenja sunčeve energije: pretvorba u toplinsku energiju i električnu te dobivanje energije iz biomase. Fotonaponske čelije izravno pretvaraju sunčevu energiju u električnu energiju dok solarni kolektori apsorbiraju sunčevu zračenje koje predaje toplinu radnom mediju u kolektorskem krugu, a zatim se ta toplina može koristiti kao toplinska energija za pripremu potrošne tople vode ili grijanje ili se može dalnjim postupcima pretvarati u električnu energiju. Izravna pretvorba sunčeve energiju u električnu je zadnjih godina pojeftinila, ali je i dalje vrlo skupa zbog cijene fotonaponskih čelija i skupe tehnologije izrade istih [1].

2.1. Sunčev zračenje

Gotovo svi izvori energije na Zemlji imaju svoje korijene u sunčevu energiji. Na slici 1. je ilustrirano kako energija sunčevog zračenja utječe na pojave drugih oblika energije na Zemlji. Fosilna goriva su nastala od životinjskih i biljnih organizama koji koriste sunčevu energiju za proces fotosinteze kojom se izdvaja ugljik iz ugljikovog dioksida u zraku i pohranjuje u biljku. Energija valova je posljedica energije vjetra koja nastaje uslijed razlike tlakova odnosno temperature zraka. Ta temperaturna razlika je posljedica različite progrijanosti zraka koji se zagrijava konvekcijom topline sa tla koje je tu toplinu primilo od sunčevog zračenja. Energija tokova rijeka koje vodu dobivaju iz padalina također ima izvorište u sunčevoj energiji. Energija sunca isparava vodu sa kopna i sa vodenih površina koja se onda u obliku padalina nađe na većim geodetskim visinama.



Slika 1. Sunčev zračenje na Zemlju i pretvorba u druge oblike energije [2]

Na granicu atmosfere se dozrači 173 000 TW od kojih se 120 000 TW apsorbira u atmosferi, tlu i vodama, a ostatak dozračene energije se izravno od atmosfere reflektira u svemir. Dozračena energija na površinu ima malu gustoću energetskog toka ($< 1 \text{ kW/m}^2$) što predstavlja problem u pogledu iskorištavanja sunčeve energije. Spektralna raspodjela intenziteta zračenja je slična crnom tijelu. Oko 48% zračenja se nalazi u vidljivom spektru, 42.4% u kratkovalnom i 0.6% u UV spektru. Ekstraterističko sunčev zračenje dospjelo do

zemljine površine odgovara površini ispod dijagrama intenziteta sučevog zračenja, a 30 % tog zračenja se odmah reflektira nazad u svemir dok se ostatak zračenja najviše apsorbira u zemljinu površinu. Sunčeve zračenje na površinu dolazi direktno i difuzno zbog raspršenja direktnog zračenja na oblacima [1]. Apsorbirano zračenje zagrijava zemlju koja isparavanjem, zračenjem i konvekcijom predaje dio topline atmosferi dok se dio energije vraća nazad u svemir zemljinim zračenjem u dugovalnom infracrvenom spektru. Sunčeve zračenje varira tijekom dana zbog rotacije zemlje oko vlastite osi. Zračenje tijekom godine varira zbog promjenjivog kuta upada sunčevog zračenja koje je posljedica rotacije zemlje oko sunca. Insolacija je godišnja količina zračenja na horizontalnu plohu koja za područje Zagreba iznosi 1200 kWh/m², a najveći dio je dozračen u toplijem dijelu godine[2].

3. SUNČANI TOPLOVODNI SUSTAVI ZA PRIPREMU PTV-A

Danas se u najvećoj mjeri koriste sunčani toplovodni sustavi za pripremu potrošne tople vode (PTV). Postoje i sustavi koje uključuju grijanje prostora i bazena, ali oni se manje upotrebljavaju zbog činjenice da je manja potreba za grijanjem prostora i bazena upravo u ljetnom periodu kada je proizvodnja tople vode najveća.

Osnovni dijelovi sustava su sunčevi kolektori i akumulacijski spremnik u kojem se skladišti topla voda. Radni fluid u kolektorima je voda ili mješavina vode i glikola koja je otporna na smrzavanje. Cirkulacija radnog fluida se može odvijati prisilno uz korištenje cirkulacijskih pumpi ili prirodnom cirkulacijom koja je ostvarena uzgonom fluida zbog temperaturne razlike. Za razliku od sustava sa prirodnom cirkulacijom radnog fluida gdje akumulacijski spremnik mora biti na najvišoj točki sustava (najčešće na krovu), akumulacijski spremnik kod sustava sa prisilnom cirkulacijom se smješta u samom objektu gdje je bolje očuvan od atmosferskih uvjeta i toplinskih gubitaka.

Od ostalih dijelova opreme tu su još ventili i ekspanzijska posuda koja prima višak vode iz spremnika i koletorskog kruga i osigurava stalni radni tlak u sustavu. Cjevovodi moraju biti što je moguće kraći i izolirani kako bi se smanjili gubici tlaka i topline. Nepovratni ventili se ugrađuju kako bi se spriječilo rashlađivanje spremnika. Automatska regulacija sustava se koristi kako bi se poboljšala efikasnost cijelog sustava, a sastoji se od upravljačke jedinice, osjetnika temperature radnog fluida koji se nalazi na izlazu iz kolektora i na raznim pozicijama u spremniku. Osjetnici temperature potrošne vode se nalaze u spremniku iznad izmjenjivača kolektorskog kruga[2].

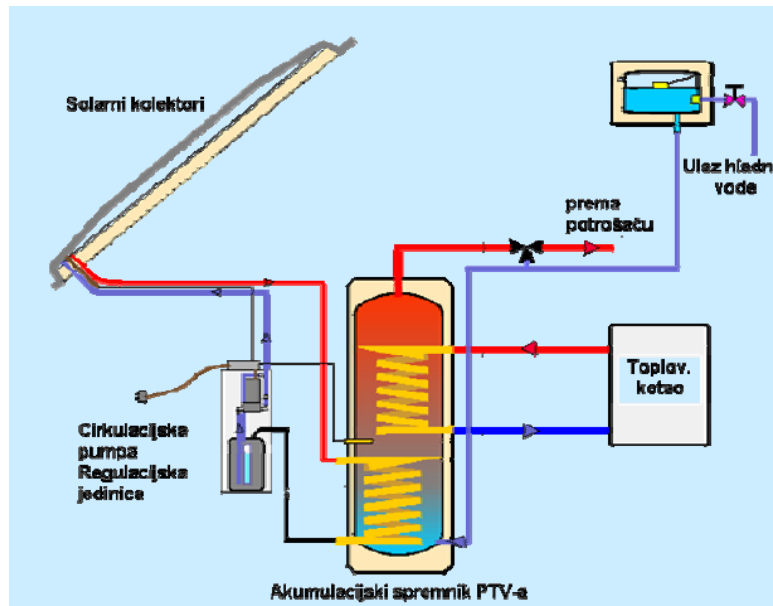
Sustavi sa prisilnom cirkulacijom mogu biti izvedeni na više načina:

- Sustav sa jednim spremnikom za pripremu PTV-a
- Toplovodni sustavi sa dvostrukim spremnikom
- Sustavi s protočnim grijачem (izmjenjivačem) PTV-a
- Toplovodni sustavi s dva spremnika
- Sustavi s pločastim izmjenjivačem topline kolektorskog kruga koji se koriste u prehrambenoj industriji

Na slici 2. prikazana je shema jednostavnog sustava za pripremu PTV-a. Akumulacijski spremnik je izведен sa cijevnim spiralnim izmjenjivačima solarnog i pomoćnog izmjenjivača topline. Ulaz potrošne vode se nalazi na dnu, a izlaz na vrhu spremnika gdje se zbog

uzgonskog djelovanja nalazi voda više temperature. Radni fluid nakon izlaska iz kolektora ulazi u spremnik na gornjem topnjem dijelu spremnika, a izlazi iz spremnika u nižim hladnijim dijelovima zbog efikasnije izmjene topline između fluida kolektorskog kruga i potrošne vode.

Direktan prođor hladne vode u toplije gornje slojeve spremnika može se spriječiti skretaćima mlaza koji su postavljeni iznad ulaza hladne vode u spremnik.



Slika 2. Sustav s jednim spremnikom za pripremu PTV-a [2]

4. ZAKONI DINAMIKE FLUIDA

Osnovni zakoni dinamike fluida se temelje na zakonima klasične fizike u koje spadaju

1. Zakon očuvanja mase
2. Zakon očuvanja količine gibanja
3. Zakon očuvanja momenta količine gibanja
4. Zakon očuvanja energije
5. Drugi zakon termodinamike

Tako objedinjeni zakoni dinamike fluida se zovu Oberbeckov sustav jednadžbi koja za stacionarno ($\frac{\partial \rho}{\partial t} = 0$) i laminarno nestlačivo ($\rho = \text{konst.}$) strujanje u diferencijalnom obliku glase:

jednadžba kontinuiteta (zakon očuvanja mase)

$$\frac{\partial u_j}{\partial x_j} = 0 \quad (4.1)$$

jednadžba količine gibanja u smjeru osi x_i

$$\frac{\partial u_i}{\partial t} + \frac{\partial(u_i u_j)}{\partial x_j} = -\frac{1}{\rho} \frac{\partial p}{\partial x_i} + \nu \frac{\partial}{\partial x_j} \left(\frac{\partial u_j}{\partial x_i} + \frac{\partial u_i}{\partial x_j} \right) + f_i \quad (4.2)$$

zakon održanja energije

$$\frac{\partial T}{\partial t} + \frac{\partial(u_j T)}{\partial x_j} = a \left(\frac{\partial^2 T}{\partial x_j^2} \right) + \frac{1}{\rho c_p} S_T \quad (4.3)$$

Gdje član S_T predstavlja funkciju disipacije energije po jedinici volumena uzrokovana viskoznim djelovanjem na česticu fluida.

4.1. Turbulentno strujanje

Turbulentno strujanje se javlja pri visokim vrijednostima Reynoldsova broja i najčešći je pojavni oblik strujanja u prirodi. Takvo strujanje je izuzetno složenog karaktera i može se predviđati na način da se pojedina veličina u nekoj točki prostora prikaže kao zbroj statički u vremenu osrednjene veličine i pulsirajućeg dijela. Ako se osrednjene vrijednosti brzine, tlaka i temperature ne mijenjaju u vremenu, tada se govori o kvazistacionarnom strujanju, iako je turbulentno strujanje samo po sebi nestacionarno [6].

Jednadžbe kontinuiteta i količine gibanja za kvazistacionarno turbulentno strujanje glase:

$$\frac{\partial \bar{u}_j}{\partial x_j} = 0 \quad (4.4)$$

$$\rho \frac{\partial \bar{u}_i}{\partial t} + \rho \frac{\partial (\bar{u}_i \bar{u}_j)}{\partial t} = -\frac{\partial p}{\partial x} + \mu \frac{\partial}{\partial x_j} \left(\frac{\partial \bar{u}_j}{\partial x_i} + \frac{\partial \bar{u}_i}{\partial x_j} \right) - \rho \frac{\partial}{\partial x_j} (\bar{u}_i \bar{u}_j) \quad (4.5)$$

Posljednji član u gornjoj jednadžbi je fiktivni doprinos smičnih naprezanja (Reynolds-ova naprezanja) nastalih uslijed djelovanja oscilirajućih komponenti brzina. Zbog nelinearnosti člana $\bar{u}_i \bar{u}_j$ u znanosti su razvijeni različiti modeli Reynoldsovih naprezanja. Jedan od tih modela je $k-\bar{\epsilon}$ model koji je dostupan u programskom paketu ANSYS Fluent-u.

Model $k-\bar{\epsilon}$ je zasnovan na Boussinesq-ovoј hipotezi koja uvodi dinamički koeficijent turbulentne viskoznosti μ_t (funkcija lokalnog uvjeta strujanja) i tlak uslijed turbulentnih pulzacija brzine koji je izražen preko turbulentne kinetičke energije \bar{k} . Implementacijom Boussinesq-ove hipoteze u Reynoldsovou jednadžbu dobiva se

$$\rho \frac{\partial \bar{u}_i}{\partial t} + \rho \frac{\partial (\bar{u}_i \bar{u}_j)}{\partial t} = -\frac{\partial p_{eff}}{\partial x} + \frac{\partial}{\partial x_j} \left[(\mu + \mu_t) \frac{\partial \bar{u}_j}{\partial x_i} + \frac{\partial \bar{u}_i}{\partial x_j} \right] \quad (4.6)$$

gdje je efektivni tlak p_{eff}

$$p_{eff} = \bar{p} + \frac{2}{3} \rho \bar{k} \quad (4.7)$$

Određivanje turbulentne viskoznosti μ_t u $k-\bar{\varepsilon}$ modelu predstavlja problem te je potrebno riješiti dodatne dvije transportne jednadžbe za k i $\bar{\varepsilon}$ gdje $\bar{\varepsilon}$ predstavlja disipaciju turbulentne kinetičke energije.

4.2. Određivanje turbulentne viskoznosti

Transportne jednadžbe koje opisuju raspodjelu k i $\bar{\varepsilon}$ u turbulentnom strujanju su:

$$\rho \frac{\partial \bar{k}}{\partial t} + \rho \frac{\partial (\bar{u}_j \bar{k})}{\partial x_j} = \frac{\partial}{\partial x_j} \left[\left(\mu + \frac{\mu_t}{\sigma_k} \right) \frac{\partial \bar{k}}{\partial x_j} \right] + \bar{G} - \rho \bar{\varepsilon} \quad (4.8)$$

$$\rho \frac{\partial \bar{\varepsilon}}{\partial t} + \rho \frac{\partial (\bar{u}_j \bar{\varepsilon})}{\partial x_j} = \frac{\partial}{\partial x_j} \left[\left(\mu + \frac{\mu_t}{\sigma_\varepsilon} \right) \frac{\partial \bar{\varepsilon}}{\partial x_j} \right] + C_1 \bar{G} \frac{\bar{\varepsilon}}{\bar{k}} - C_2 \rho \frac{\bar{\varepsilon}^2}{\bar{k}} \quad (4.9)$$

Gdje je \bar{G} generacija turbulentne kinetičke energije

$$\bar{G} = \mu_t \left(\frac{\partial \bar{u}_j}{\partial x_i} + \frac{\partial \bar{u}_i}{\partial x_j} \right) \frac{\partial \bar{u}_i}{\partial x_j} \quad (4.10)$$

Prandl-Kolmogorovim opisom karakteristične brzine pulzacija i dimenzijskom analizom možemo turbulentnu viskoznost zapisati u obliku

$$\mu_t = \rho C_\mu C_D \frac{\bar{k}^2}{\bar{\varepsilon}} \quad (4.11)$$

Gdje su σ_k i σ_ε su karakteristike geometrije i lokalnih uvjeta strujanja (turbulentni Prandtl-ovi brojevi). U tablici 1. su prikazane eksperimentalno određene konstante transportnih jednadžbi.

Tablica 1. Eksperimentom odredene konstante transportnih jednadžbi za $k - \bar{\varepsilon}$ model Reynolds-ovih naprezanja [5]

| C_μ | C_D | σ_k | σ_ε | C_1 | C_2 |
|---------|-------|------------|----------------------|-------|-------|
| 1.0 | 0.09 | 1.0 | 1.3 | 1.44 | 1.92 |

Ostali modeli kojima se modeliraju Reynolds-ova naprezanja i spominju se u literaturi su: RNG k i $\bar{\varepsilon}$ model i RSM model koji su također dostupni u programu ANSYS-Fluent [5].

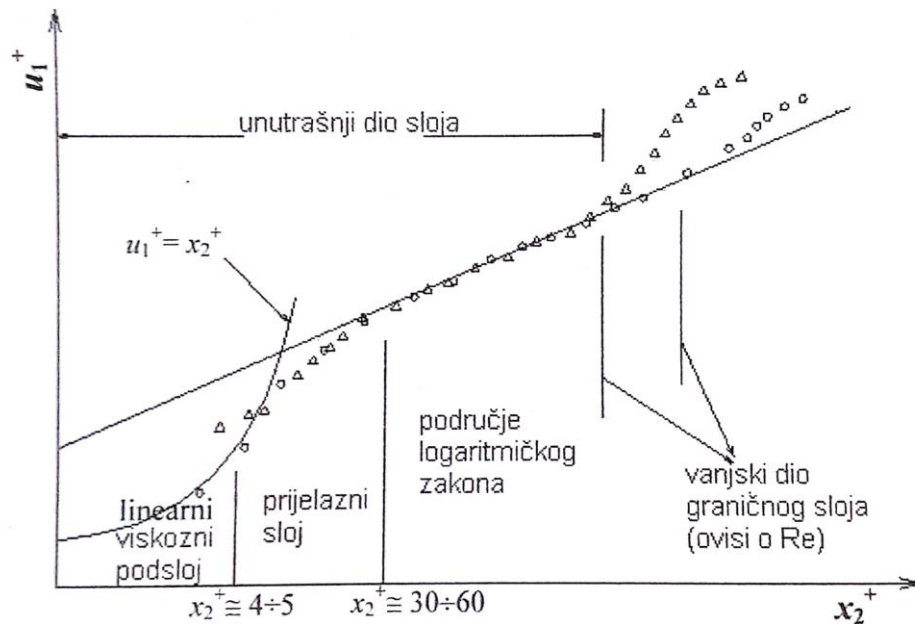
4.3. Model strujanja u blizini stjenke

Znanstvenici su utvrdili da je strujanje u blizini čvrste stjenke drugačijeg karaktera od turbulentnog strujanja dovoljno udaljenog od stjenke [5]. Kod laminarnog strujanja u blizini stjenke pojavljuje se granični sloj u kojem se brzina mijenja od 0 m/s na samoj stjenci do ruba graničnog sloja gdje je brzina jednaka brzini protoka. Taj gradijent brzina u graničnom sloju je posljedica viskoznih sila koje su dominantne u području blizu stjenke dok se podalje od stjenke viskozne sile mogu zanemariti. Debljina graničnog sloja se na nekoj udaljenosti ustali pa se tada govori o izobraženom profilu brzina strujanja [6].

Kod izobraženog turbulentnog strujanja u blizini čvrste stjenke pojavljuje se turbulentni granični sloj koji je tanji od laminarnog graničnog sloja te su zbog toga gradijenti brzina u graničnom sloju veći kod turbulentnih strujanja. Zbog većih gradijenata brzina je povećana dissipacija energije kod turbulentnog strujanja.

Turbulentno strujanje u blizini čvrste stjenke se može promatrati u dva slučaja. U prvom slučaju u neposrednoj blizini stjenke su prigušene turbulentne pulsacije samom stjenkom te je u tom području molekularna viskoznost znatno veća od turbulentne viskoznosti ($\mu \ll \mu_t$). U drugom slučaju podalje od stjenke se zanemaruje molekularna viskoznost ($\mu \gg \mu_t$).

Implementiranjem tih pretpostavki te uvođenjem bezdimenzionalne brzine u_1^+ i bezdimenzionalne udaljenosti x_2^+ dobiven je dijagram na slici 3. gdje se vide raspodjele brzina strujanja u turbulentnom graničnom sloju koje su i eksperimentalno potvrđene.



Slika 3 Prikaz brzina u turbulentnom graničnom sloju u funkciji udaljenosti od stjenke dana u logaritamskoj skali [5]

Jednadžbe za bezdimenzionalnu brzinu u_1^+ i bezdimenzionalnu udaljenost x_2^+ glase

$$u_1^+ = \frac{\bar{u}_1}{\sqrt{\tau_{stij}/\rho}} \quad (4.12)$$

$$x_2^+ = \frac{\rho \cdot x_2}{\mu} \sqrt{\tau_{stij}/\rho} \quad (4.13)$$

\bar{u}_1 je osrednjana brzina turbulentnog strujanja, x_2 je udaljenost od stijenke, a τ_{stij} je viskozno smično naprezanje na stijenci. U linearном viskoznom podsloju vrijedi $u_1^+ = x_2^+$. U inercijalnom posloju gdje je veći utjecaj turbulentne viskoznosti vrijedi logaritmički profil brzine $u_1^+ = \frac{1}{\kappa} \ln(E x_2^+)$.

5. DISKRETIZACIJA OSNOVNIH JEDNADŽBI DINAMIKE FLUIDA

Parcijalne diferencijalne jednadžbe osnovnih zakona dinamike fluide nije moguće riješiti analitički. Potrebno je diskretizirati jednadžbe kako bi se dobio sustav algebarskih jednadžbi koje se zatim numerički rješavaju.

Osnovni zakoni dinamike fluida i jednadžbe za k i ε mogu se zapisati u općem obliku koji glasi:

$$\frac{\partial \phi}{\partial t} + \frac{\partial(u_j \phi)}{\partial x_j} = \Gamma \frac{\partial^2 \phi}{\partial x_j^2} + S \quad (5.1)$$

gdje ϕ predstavlja pojedinu fizikalnu veličinu, Γ koeficijent difuzije, a S izvorni član.

Podjelom domene na više kontrolnih volumena i transformacijom volumnog u površinski integral, jednadžba (4.1) postaje

$$\sum_p^{n_ploha} \vec{u}_p \cdot \phi_p \cdot \vec{A}_p = \sum_p^{n_ploha} \Gamma \cdot (\nabla \phi)_n \cdot \vec{A}_p + S \cdot \Delta V \quad (5.2)$$

ϕ_p je vrijednost na plohi p kontrolnog volumena, a $(\nabla \phi)_n$ je gradijent u smjeru normale na plohu p . Lijeva strana jednadžbe (5.2) je konvektivni član, a prvi član s desne strane je difuzijski član.

Plošna vrijednost ϕ_p konvektivnog člana se može diskretizirati interpolacijskom shemom "upwind shema" drugog reda točnosti

$$\phi_p = \phi_{c0} + \nabla \phi_p \cdot \Delta \vec{s} \quad (5.3)$$

Gdje je ϕ_{c0} vrijednost u središtu kontrolnog volumena, a $\nabla \phi_p$ gradijent u smjeru strujanja koji se dalje diskretizira te postaje

$$\nabla \phi_p = \frac{1}{\Delta V} \sum_p^{n_ploha} \bar{\phi}_p \cdot \vec{A} \quad (5.4)$$

$\bar{\phi}_p$ se dobije aritmetičkim osrednjavanjem vrijednosti u središta susjednih kontrolnih volumena. Istim postupkom se diskretizira i difuzijski član jednadžbe (4.2). Jednadžba (4.2) je i dalje nelinearna te je potrebno linearizirati koeficijente na ploham kontrolnog volumena [3].

5.1. Algoritam rješavanja diskretiziranih jednadžbi

Algoritam "segregated solver" je korišten za numeričko rješavanja diskretiziranih jednadžbi. Da bi se dobiti sve zavisne varijable potrebno je provesti više iteracija. Unutar svake iteracije se provode slijedeći postupci:

1. Izračun karakteristike fluida prepostavljanjem ili prethodnom iteracijom izračunatom vrijednosti
2. Rješavanje jednadžbi količine gibanja i korekcijske jednadžbe tlaka da se zadovolji jednadžba kontinuiteta
3. Nakon definiranja polja brzina rješavaju se energetske jednadžbe i transportne k i ε jednadžbe

5.2. Interpolacijska shema tlaka

Jednadžbu količine gibanja nije moguće riješiti bez poznavanja tlakova na površinama kontrolnih volumena. U ovom modelu je odabrana "body force weighted" interpolacijska shema tlaka koja je pogodna za strujanja sa intenzivniji uzgonskim silama. Tlak na površini kontrolnog volumena se računa prepostavkom da je gradijent tlaka i uzgonskih sila konstantan u smjeru normale na plohu [5].

5.3. Korekcije tlaka i brzine

U programskom paketu ANSYS-Fluent dostupna je opcija "Simple algoritam" kojom se izračunavaju polja brzine i polja tlaka. Prepostavljenim poljem tlaka dobivamo "nekorektnu" vrijednost polja brzine iz jednadžbe količine gibanja. Dobivena brzina ne zadovoljava jednadžbu kontinuiteta stoga je nekorektnu vrijednost brzine potrebno korigirati. Tlak se

korigira podrelaksacijskim faktorom koji utječe na konvergenciju rješenja. Tu dobivenu korigiranu vrijednost tlaka se koristi kao pretpostavljeni tlak u idućoj iteraciji.

5.4. Courantov broj

Courantov broj govori o tome da li veličina elementa na koje je prostorna domena podijeljena i odabrani vremenski korak zadovoljavaju uvjet konvergencije rješenja. Praćenje Couranotovog broja je bitno kod tranzijentnih strujanja čija je stabilnost uvjetovana slijedećim izrazom

$$\text{Co} = \nu \cdot \frac{\Delta t}{\Delta x} \leq 1 \quad (5.5)$$

Gdje član ν predstavlja brzinu strujanja, Δx je veličina elementa, a Δt je vremenski korak.

Uvjet iz jednadžbe 5.5 ograničava gibanje čestice fluida kroz više elemenata u jednom vremenskom koraku.

6. ZAPREMNINA SPREMNIKA I TOPLINSKI UČIN IZMJENJIVAČA SOLARNOG KRUGA I POMOĆNOG GRIJAČA

Za potrebe ovog rada je odabran solarni sustav sa prisilnom cirkulacijom i jednim spremnikom za pripremu PTV-a (slika 2.). Izmjena topline između potrošne vode i medija iz solarnog kruga se vrši preko spiralnog cijevnog izmjjenjivača u donjoj polovici spremnika. Voda iz solarnog kruga ulazi u solarni spremnik u gornjem dijelu, a izlazi u donjem dijelu spremnika gdje se nalazi ulaz hladnije potrošne vode. Iznad izmjjenjivača solarnog kruga se nalazi pomoćni grijač koji po potrebi dogrijava vodu do postavljene temperaturne vrijednosti. Primjer takvog 300 litarskog spremnika je u laboratoriju na Fakultetu strojarstva i brodogradnje, Sveučilišta u Zagrebu i prikazan je na slici 4. Akumulacijski spremnik Wolf SEM – 300 je korišten u studentskom projektu "Solarna dizalica topline" pod mentorstvom dr.sc. Vladimira Solde . Geometrija tog spremnika je korištena za razvijanje numeričkog modela dinamičke simulacije.



Slika 4. Akumulacijski spremnik Wolf SEM – 300, FSB Zagreb

6.1. Satna simulacija sustava

Potrebno je kvalitetno dimenzionirati toplovodni sunčani sustav kako bi se zadovoljile potrebe za toplinskom energijom. Simulacija sustava na satnoj razini je provedena za karakteristične dane u siječnju i srpnju što je sasvim zadovoljavajuće za potrebe ovog rada. Proračun je proveden za prethodno odabrani akumulacijski spremnik na temelju potrošnje tople vode i dozračene energije na kolektorsku površinu. Tim proračunom se na temelju potrošnje i zagrijavanja tople vode dobiju dinamičke karakteristike sustava tijekom cijelog dana u karakterističnom mjesecu. U proračunu se usklađuju površina kolektora, zapremnina, toplinski učinak kolektora i snaga pomoćnog grijaća kako bi se dobio optimalni sustav [2].

6.1.1. Upadno zračenje na kolektor

Podatci za energiju sunčevog upadnog zračenja G_{sun} (satne vrijednosti za siječanj i srpanj) na nagnutu plohu kolektora za područje Zagreba su dani u tablici 1.

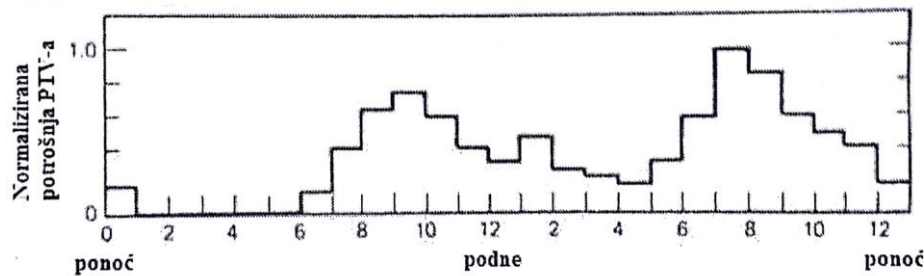
Tablica 1. Satne vrijednosti upadnog sunčevog zračenja na nagnutu plohu kolektora [2]

| sat | G_{sun} (Wh) | |
|-------|----------------|--------|
| | Siječanj | Srpanj |
| 4-5 | 0 | 11.9 |
| 5-6 | 0 | 65.4 |
| 6-7 | 0 | 157.2 |
| 7-8 | 14.1 | 263.4 |
| 8-9 | 67.4 | 378.1 |
| 9-10 | 153.6 | 479.3 |
| 10-11 | 230.4 | 555.7 |
| 11-12 | 288.4 | 590.6 |
| 12-13 | 304.1 | 593.1 |
| 13-14 | 263.4 | 553.2 |
| 14-15 | 183.4 | 476.7 |
| 15-16 | 84.6 | 376.4 |
| 16-17 | 17.2 | 277.0 |
| 17-18 | 0 | 163.2 |
| 18-19 | 0 | 67.1 |
| 19-20 | 0 | 11.9 |

6.1.2. Satna potrošnja PTV-a

Dnevna potrošnja tople vode u kućanstvu ovisi o broju potrošača, navikama i potrebama pojedinog kućanstva. Stoga se za dnevnu potrošnju PTV-a u kućanstvu uzima prosječna vrijednost potrošnje po osobi koja iznosi približno 50 litara po danu. Solarni sustav je namijenjen za 5 članova kućanstva kojima je potrebno 250 litara dnevno PTV-a.

Potrošnja PTV-a nije jednolika tijekom dana stoga je konstruirana satna potrošnja preko stupčanog dijagrama relativne potrošnje tople vode prikazanog na slici 4.



Slika 5 Primjer relativne satne potrošnje PTV-a u kućanstvu tijekom dana [2]

Period potrošnje od ponoći do jedan ujutro nije uzet u obzir. Dobivene satne vrijednosti potrošnje PTV-a \dot{m} peteročlanog kućanstva su prikazane u tablici 2.

Tablica 2. Tablični prikaz satne potrošnje PTV-a peteročlanog kućanstva

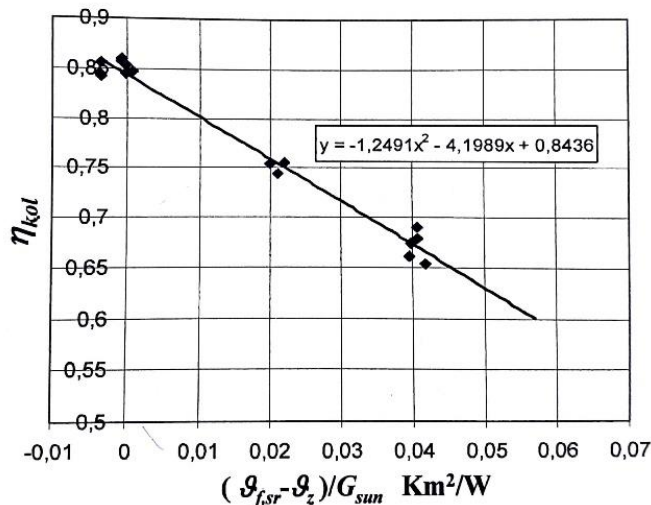
| Sat h | \dot{m} kg/h | Sat h | \dot{m} kg/h |
|----------|-------------------|----------|-------------------|
| 4-5 | 0 | 14-15 | 8.571 |
| 5-6 | 0 | 15-16 | 7.143 |
| 6-7 | 5.143 | 16-17 | 5.714 |
| 7-8 | 11.714 | 17-18 | 11.429 |
| 8-9 | 17.714 | 18-19 | 17.714 |
| 9-10 | 20.000 | 19-20 | 28.571 |
| 10-11 | 17.143 | 20-21 | 24.286 |
| 11-12 | 11.429 | 21-22 | 17.714 |
| 12-13 | 7.143 | 22-23 | 14.857 |

| | | | |
|-------|--------|-------|--------|
| 13-14 | 12.286 | 23-24 | 11.429 |
|-------|--------|-------|--------|

6.1.3. Efikasnost pločastog kolektora

Efikasnost kolektora je udio solarne toplinske energije koja se predaje vodi i energije sunčevog upadnog zračenja G_{sun} . Podatke o efikasnosti kolektora daje proizvođač, a oni se najčešće određuju eksperimentalno [2].

Za potrebe ovog rada korišten je polinom dobiven regresijskom analizom eksperimentalnih podataka na pločastom kolektoru (FSB, Zagreb [2]). Na slici 6. je prikazana efikasnost kolektora η_{kol} u funkciji $(\vartheta_{f,sr} - \vartheta_z)/G_{sun}$, pri čemu je ϑ_z temperatura vanjskog zraka, a $\vartheta_{f,sr}$ srednja temperatura radnog fluida u kolektorskom krugu.



Slika 6. Mjerene vrijednosti efikasnosti pločastog kolektora i regresijski polinom (FSB) [2]

U tablici 3. su prikazane satne vrijednosti efikasnosti kolektora u siječnju i srpnju pri čemu je za temperaturu vanjskog zraka uzeto da je $\vartheta_z = -1$ °C za siječanj i $\vartheta_z = -26$ °C za srpanj. Srednja temperatura radnog fluida u siječnju je $\vartheta_{f,sr} = 30$ °C, dok je u srpnju $\vartheta_{f,sr} = 50$ °C.

Tablica 3 Satne vrijednosti efikasnosti pločastog kolektora za siječanj i srpanj

| | η_{kol} (-) | |
|-----|------------------|--------|
| sat | Siječanj | Srpanj |
| 4-5 | 0 | 0 |
| 5-6 | 0 | 0 |
| 6-7 | 0 | 0.17 |

| | | |
|-------|------|------|
| 7-8 | 0 | 0.45 |
| 8-9 | 0 | 0.57 |
| 9-10 | 0.32 | 0.63 |
| 10-11 | 0.49 | 0.66 |
| 11-12 | 0.54 | 0.67 |
| 12-13 | 0.54 | 0.67 |
| 13-14 | 0.46 | 0.66 |
| 14-15 | 0.25 | 0.63 |
| 15-16 | 0 | 0.57 |
| 16-17 | 0 | 0.47 |
| 17-18 | 0 | 0.20 |
| 18-19 | 0 | 0 |

6.1.4. Prikupljena energija na kolektoru

Energija koju kolektor prikupi od sunčevog zračenja u jednom satu se računa prema sljedećem izrazu

$$Q_{kol} = \eta_{kol} \cdot G_{sun} \cdot A_{kol} \cdot t \quad (6.1)$$

Q_{kol} je u jedinici Wh, pri čemu je $t=1$ h. Površina kolektora je određena prema unaprijed određenoj zapremnini spremnika. U proračun se ušlo sa površinom kolektora $A_{kol} = 4 \text{ m}^2$.

6.1.5. Energija odvedena iz spremnika

Energija odvedena iz spremnika tijekom jednog sata se računa prema sljedećoj jednadžbi

$$Q_{PTV} = \dot{m} c_p (\vartheta_{s1} - \vartheta_{svj}) \cdot t \quad (6.2)$$

gdje je ϑ_{s1} temperatura vode u spremniku na početku sata, a vrijednost temperature svježe napojne vode ϑ_{svj} je 15°C . Ovdje je potrebno napomenuti da je u proračunu temperatura vode u spremniku homogena (nema temperaturne stratifikacije po visini spremnika).

6.1.6. Akumulirana energija u spremniku

Energija koja se akumulira u solarnom spremniku tijekom sat vremena se računa prema

$$Q_{sprem} = Q_{kol}\eta_g - Q_{PTV} \quad (6.3)$$

Gdje je zbog gubitaka u cjevovodu i izmjenjivaču uzeto da je $\eta_g=0.95$

6.1.7. Prirast temperature u spremniku

Jednadžba za prirast temperature PTV-a u spremniku tijekom jednog sata glasi

$$\Delta\vartheta = \frac{Q_{sprem}}{V_{sprem} \cdot \rho \cdot c_p} \quad (6.4)$$

Zbrajanjem prethodne jednadžbe i temperature vode u spremniku na početku sata ϑ_{s1} dobivamo srednju temperaturu spremnika na kraju sata koja iznosi

$$\vartheta_{s2} = \vartheta_{s1} + \Delta\vartheta \quad (6.5)$$

Temperatura u spremniku na kraju sata se uzima kao početna temperatura na početku idućeg sata. Provodi se iteracija kroz nekoliko dana karakterističnog mjeseca i potrebno je paziti da temperatura u spremniku tijekom ljetnih mjeseci ne premaši 55 °C jer bi to smanjilo učinkovitost izmjenjivača topline u spremniku. Temperatura na kraju dana se umanji za 3 °C zbog toplinskih gubitaka tijekom noći te se sa tom temperaturom ulazi u proračun za idući dan. Temperatura ne bi trebala pasti ispod 45 °C zbog mogućeg razmnožavanja legionele [2].

6.1.8. Energija pomoćnog grijajuća

Energija pomoćnog grijajuća (kWh) kojim se dogrijava voda do zadane temperature ϑ_{set} računa se prema slijedećem izrazu

$$Q_{pom} = \dot{m}c_p(\vartheta_{set} - \vartheta_{s2}) \cdot t \quad (6.6)$$

U proračunu je za ϑ_{set} u zimskom periodu uzeta vrijednost 45 °C, a, u ljetnom periodu 50 °C. Vrijednost specifičnog toplinskog kapaciteta je uzeta iz toplinskih tablica $c_p = c_w = 4,3$ kW/(kgK) [4].

6.2. Rezultati satne simulacije

Rezultati satne simulacije sustava ($A_{kol} = 4 \text{ m}^2$, $V_{sprem}=300 \text{ litara}$) za zimski i ljetni period su prikazani u tablicama 4. i 5. gdje su prikazane srednje vrijednosti temperature u solarnom spremniku na kraju svakog sata. Odabran je nazivni učin pomoćnog grijajuća je 740 W koji se u simulaciji koristi za zagrijavanje spremnika u zimskom režimu rada solarnog sustava za pripremu PTV-a.

Tablica 4. Tablični prikaz rezultata satne simulacije za siječanj

| Sat h | \dot{m} kg/h | Q_{kol} Wh | Q_{PTV} Wh | ϑ_{s1} °C | $\Delta\vartheta$ °C | ϑ_{s2} °C | Q_{pom} Wh |
|----------|-------------------|-----------------|-----------------|------------------------|-------------------------|------------------------|-----------------|
| 4-5 | 0 | 0 | 0 | 18 | 0 | 18 | 0 |
| 5-6 | 0 | 0 | 0 | 18 | 0 | 18 | 0 |
| 6-7 | 5.14 | 0 | 18.0 | 18 | -0.06 | 17.94 | 166.2 |
| 7-8 | 11.71 | 0 | 40.1 | 17.94 | -0.13 | 17.82 | 380.3 |
| 8-9 | 17.71 | 0 | 58.1 | 17.82 | -0.18 | 17.64 | 579.0 |
| 9-10 | 20.00 | 194.1 | 61.3 | 17.64 | 0.39 | 18.02 | 644.5 |
| 10-11 | 17.14 | 450.2 | 60.3 | 18.02 | 1.15 | 19.18 | 528.8 |
| 11-12 | 11.43 | 627.4 | 55.5 | 19.18 | 1.70 | 20.87 | 329.4 |
| 12-13 | 7.14 | 651.0 | 48.8 | 20.87 | 1.79 | 22.66 | 190.6 |
| 13-14 | 12.29 | 480.6 | 109.5 | 22.66 | 1.09 | 23.75 | 311.8 |
| 14-15 | 8.57 | 186.5 | 87.3 | 23.75 | 0.28 | 24.03 | 214.7 |
| 15-16 | 7.14 | 0 | 75.1 | 24.03 | -0.24 | 23.80 | 180.9 |
| 16-17 | 5.71 | 0 | 58.5 | 23.80 | -0.18 | 23.61 | 146.0 |
| 17-18 | 11.43 | 0 | 114.6 | 23.61 | -0.36 | 23.25 | 296.9 |
| 18-19 | 17.71 | 0 | 170.2 | 23.25 | -0.53 | 22.72 | 471.4 |
| 19-20 | 28.57 | 0 | 256.7 | 22.72 | -0.81 | 21.91 | 787.9 |
| 20-21 | 24.29 | 0 | 195.4 | 21.91 | -0.61 | 21.30 | 687.5 |
| 21-22 | 17.71 | 0 | 129.9 | 21.30 | -0.41 | 20.89 | 510.1 |
| 22-23 | 14.86 | 0 | 121.5 | 20.89 | -0.38 | 20.51 | 434.6 |
| 23-24 | 11.43 | 0 | 113.6 | 20.51 | -0.36 | 20.15 | 339.2 |

Tablica 5. Tablični prikaz rezultata satne simulacije za srpanj

| Sat h | \dot{m} kg/h | Q_{kol} Wh | Q_{PTV} Wh | ϑ_{s1} °C | $\Delta\vartheta$ °C | ϑ_{s2} °C | Q_{pom} Wh |
|----------|-------------------|-----------------|-----------------|------------------------|-------------------------|------------------------|-----------------|
| 4-5 | 0 | 0 | 0 | 18 | 0 | 18 | 0 |
| 5-6 | 0 | 350.3 | 0 | 18 | 1.04 | 19.04 | 0 |
| 6-7 | 5.14 | 645.8 | 24.2 | 19.04 | 1.85 | 20.90 | 148.1 |
| 7-8 | 11.71 | 974.2 | 80.4 | 20.90 | 2.65 | 23.55 | 300.1 |
| 8-9 | 17.71 | 1317.1 | 176.3 | 23.55 | 3.38 | 26.92 | 382.5 |
| 9-10 | 20.00 | 1601.7 | 277.6 | 26.92 | 3.91 | 30.83 | 338.5 |
| 10-11 | 17.14 | 1794.0 | 315.9 | 30.83 | 4.36 | 35.19 | 200.9 |

| | | | | | | | |
|-------|-------|--------|--------|-------|-------|-------|-------|
| 11-12 | 11.43 | 1837.8 | 268.6 | 35.19 | 4.64 | 39.83 | 70.6 |
| 12-13 | 7.14 | 1767.6 | 206.4 | 39.83 | 4.62 | 44.45 | 4.7 |
| 13-14 | 12.29 | 1553.7 | 421.2 | 44.45 | 3.31 | 47.77 | 0 |
| 14-15 | 8.57 | 1238.1 | 326.9 | 47.77 | 2.67 | 50.43 | 0 |
| 15-16 | 7.14 | 852.0 | 294.6 | 50.43 | 1.62 | 52.05 | 0 |
| 16-17 | 5.71 | 485.0 | 246.4 | 52.05 | 0.67 | 52.72 | 0 |
| 17-18 | 11.43 | 79.9 | 501.8 | 52.72 | -1.34 | 51.39 | 0 |
| 18-19 | 17.71 | 0 | 750.2 | 51.39 | -2.36 | 49.03 | 0 |
| 19-20 | 28.57 | 0 | 1131.6 | 49.03 | -3.55 | 45.48 | 0 |
| 20-21 | 24.29 | 0 | 861.4 | 45.48 | -2.70 | 42.77 | 64.6 |
| 21-22 | 17.71 | 0 | 572.6 | 42.77 | -1.80 | 40.97 | 85.2 |
| 22-23 | 14.86 | 0 | 535.5 | 40.97 | -1.68 | 39.29 | 101.3 |
| 23-24 | 11.43 | 0 | 500.8 | 39.29 | -1.57 | 37.72 | 99.4 |

7. RAČUNALNA SIMULACIJA

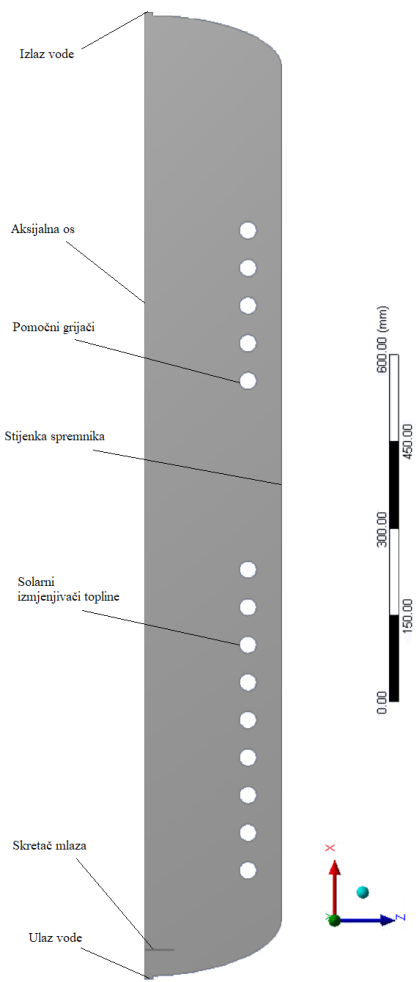
Prije računalnog rješavanja numeričkog modela simulacije solarnog spremnika bilo je potrebno uvesti neke prepostavke i pojednostavljenja.

S obzirom da je u akademskoj verziji računalnog programa ANSYS Fluent broj elemenata (ćelija) koji opisuju prostornu domenu ograničen na 512 000 što nije dovoljno da bi se napravio kvalitetni trodimenzionalni model. Odabran je dvodimenzionalno osno-simetrični model strujanja čime se unijelo određene greške u model zbog toga što su spiralni izmjenjivači iz stvarnog akumulacijskog spremnika modelirani sa prstenovima preko čijih se površina toplinskim tokom dovodi energija u spremnik.

Prepostavljeno je da je spremnik jako dobro termički izoliran tako da je u numeričkom modelu zanemaren toplinski tok kroz stjenku spremnika. Iznos toplinskog toka koji ulazi u spremnik preko izmjenjivačkih površina u funkciji je temperature i brzine strujanja radne tvari u kolektorskom krugu, temperaturi potrošne vode u blizini izmjenjivača i koeficijentu prolaza topline. Kad bi se toplinski tok modelirao preko navedenih funkcija dovelo bi do izuzetne složenosti modela i znatno bi se produljilo vrijeme računanja. S ciljem skraćenja potrebnog vremena za računanje je izmjena topline modelirana konstantnim toplinski tokom kroz izmjenjivačku površinu. Ujedno jedino je takvim načinom modeliranja moguća direktna usporedba računalne simulacije i modela prema EN 15316-5:2017.

7.1. Geometrija spremnika

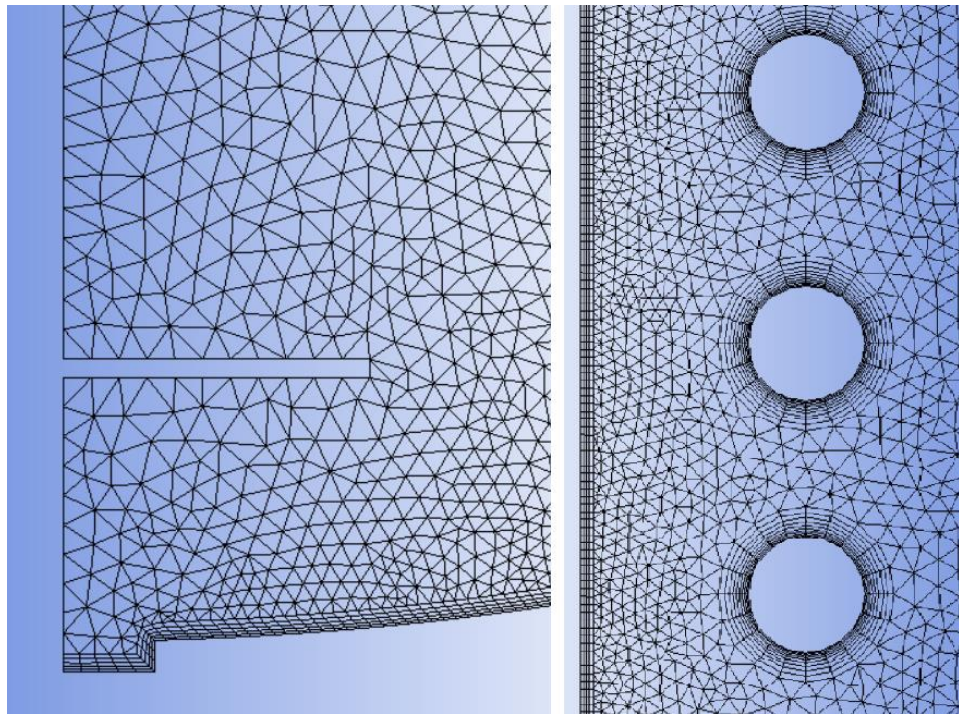
Kako nisu bile dostupne dimenzije odabranog Wolf SEM - 300 spremnika stoga se geometrija dimenzionirala preko približnih dimenzija sličnih Wolf-ovih spremnika iste zapremnine. Dvodimenzionalna geometrija spremnika je napravljena u alatu "DesignModeler" koji je dostupan u sklopu paketa ANSYS Fluent-a. Konačna zapremnina spremnika je manja od predviđenih 300 litara zbog dodanih izmjenjivača u geometriji i odstupanja od stvarnih dimenzija spremnika tako da zapremnina modeliranog spremnika iznosi 275 litara. U donjem dijelu spremnika kod ulaza svježe vode je modeliran skretач ulazne vode koji sprječava nagli prođor hladne vode u gornje toplije dijelove spremnika. Geometrija spremnika je prikazana na slici 7.



Slika 7. Dvodimenzionalna geometrija spremnika

7.2. Generiranje mreže

Nakon što je definirana geometrija spremnika potrebno je diskretizirati prostornu domenu. Kvaliteta generirane mreže bitno utječe na ispravnost dobivenih rezultata simulacijom. Loša mreža može uzrokovati nefizikalna rješenja ili se čak može dogoditi do urušavanja same simulacije. Mreža je generirana u programu "Meshing" koji je dostupan u sklopu Fluent-a. Domena je premrežena trokutima čime se dobila nestrukturana mreža. Oko izmjenjivača topline gdje se pojavljuju veliki temperaturni gradijenti su dodani četverokutni slojevi (inflation) s kojima se modelirao granični sloj. Također je modeliran granični sloj na ulazu hladne vode i izlazu tople vode iz spremnika te uz samu stjenku spremnika. Ukupan broj elemenata kojim je domena pokrivena je 45 258. Na slici 8. se vidi izgled mreže na ulazu u spremnik i oko izmjenjivača.



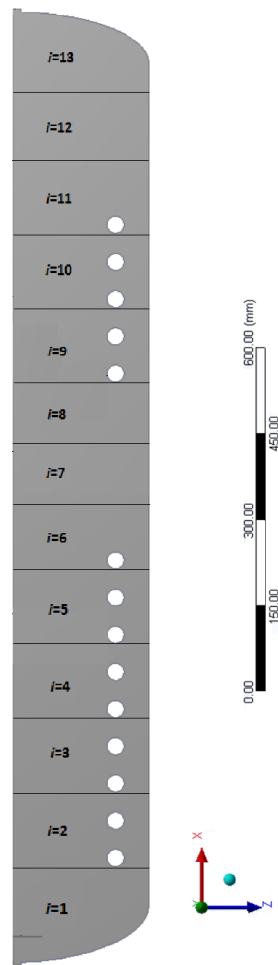
Slika 8. Izgled mreže u blizini ulaza u spremnik i oko izmjenjivača

7.3. Rubni uvjeti

Osna simetrija kod dvodimenzionalno osno simetričnog strujanja je definirana funkcijom "Axis". Stjenke spremnika kroz koje nema toplinskih gubitaka su definirane funkcijom "Wall". Ulaz svježe vode u spremnik je definiran funkcijom velocity inlet, ali u periodu bez potrošnje PTV-a je definirana funkcijom "Wall" bez toplinskog toka. Izlaz iz spremnika je definiran funkcijom "Outflow" u periodu potrošnje PTV-a, dok u periodu bez potrošnje PTV-a je definiran funkcijom 'Wall'. Donje izmjenjivačke površine solarnog kruga i gornje izmjenjivačke površine pomoćnog grijača su definirane funkcijom "Wall" sa konstantnim toplinskim tokom.

8. PRORAČUN SPREMNIKA PREMA NORMI HRN EN 15316 – 5:2017

Proračun akumulacijskih toplovodnih spremnika provodi se prema normi HRN EN 15316-5:2017. Proračun se može provesti po metodi A koja uzima u obzir temperaturnu stratifikaciju po visini spremnika te po pojednostavljenoj metodi B u kojoj je homogena temperatura vode u cijelom spremniku. Za potrebe ovog rada korišten je aneks D koji je proširena verzija satne metode A prema kojoj je spremnik podijeljen na više segmenata jednakih volumena. U svakom segmentu je temperatura vode homogena. Na slici 9. je prikazana podjela geometrije spremnika na 13 segmenata.



Slika 9. Prikaz podjele spremnika na 13 segmenata jednakih volumena

Osnovna ideja metode A je energetski proračun pojedinog segmenta spremnika prema slijedećoj jednadžbi:

$$m_i \cdot c_p \cdot (\vartheta_{t+1,i} - \vartheta_{t,i}) = Q_{t+1,i} + \Delta m_t \cdot c_p \cdot (\vartheta_{t,i-1} - \vartheta_{t,i}) - Q_{sto,ls,i} \quad (8.1)$$

Lijevi član jednadžbe (8.1) predstavlja promjenu entalpije pojedinog segmenta unutar vremenskog intervala. Prvi član s desne strane jednadžbe je dovođenje ili odvođenje energije preko izmjenjivača, drugi član je promjena entalpije uslijed miješanja tvari sa susjednim segmentom, dok zadnji član predstavlja toplinske gubitke kroz stjenke spremnika koji su u ovome modelu zanemareni. Ovdje je potrebno reći da je normom potpuno zanemarena konduktivna izmjena topline između dva susjedna segmenta.

Iako je normom predviđeno da se proračunom prema metodi A provodi satna simulacija, za potrebe ovog rada je provedena minutna simulacija koja daje kvalitetnija rješenja. U aneksu D je navedeno da je metoda ograničena na sustave sa direktnom predajom topline iz spremnika PTV-a i da proračun ne obuhvaća istovremeno zagrijavanje PTV-a tijekom direktnog odvođenja topline iz spremnika.

Proračun provodi u 8 koraka:

1. U prvom koraku se provodi inicijalizacija gdje se definiraju temperature pojedinog segmenta spremnika
2. U drugom koraku se radi proračun volumena vode $V_{\text{sto;use;W}}$ koji se isporučuje iz spremnika za potrebe PTV-a. Proračun se vodi prema traženoj energiji PTV-a koju je potrebno isporučiti, ali za ovaj model je volumen isporučene vode definiran potrošnjom PTV-a tijekom 8 minuta tuširanja.
3. U trećem koraku se radi proračun temperature spremnika nakon isporučene tople vode. Normom je zamišljeno da se voda u spremniku nakon isporuke PTV-a pomicće za volumen isporučene vode $V_{\text{sto;use;W}}$ nakon čega se u zamišljenim segmentima spremnika odvija adijabatsko miješanje tvari. Temperatura pojedinog segmenta i se računa prema slijedećoj jednadžbi

$$\vartheta_{\text{sto;vol};i} = \frac{\vartheta_{\text{sto;vol};i-1} \cdot V_{\text{sto;use;W}} + \vartheta_{\text{sto;vol};i} \cdot (V_{\text{sto;vol};i} - V_{\text{sto;use;W}})}{V_{\text{sto;vol};i}} \quad (8.2)$$

pri tome se za prvi segment $i=1$ gdje se nalazi ulaz svježe vode u spremnik uzima da je temperatura nižeg segmenta $\vartheta_{\text{sto;vol};i-1}$ jednaka temperaturi ulazne svježe vode.

Koraci 4. i 5. se odnose na proračun prilikom isporuke vode iz spremnika za potrebe grijanja koje nije predviđeno u odabranom modelu spremnika.

6. U šestom koraku se računa izmjena topline izmjenjivačima. Nakon što se u pojedinom segmentu izmjeni toplina između radne tvari solarnog kruga i potrošne vode dolazi do povećanja temperature segmenta koja iznosi

$$\vartheta_{\text{sto;vol};i} = \vartheta_{\text{sto;vol};i} + \frac{Q_{\text{sto;in};i}}{\rho_w \cdot c_w \cdot V_{\text{sto;vol};i}} \quad (8.3)$$

7. Prirodna temperaturna stratifikacija. Dovođenjem topline u pojedine segmente može se dogoditi da je temperatura vode nižeg segmenta veća od temperature gornjeg segmenta. Takvo stanje je nestabilno pa se zbog djelovanja uzgonskih sila ta dva sloja adijabatski izmiješaju tako da poprime jednaku temperaturu koja iznosi

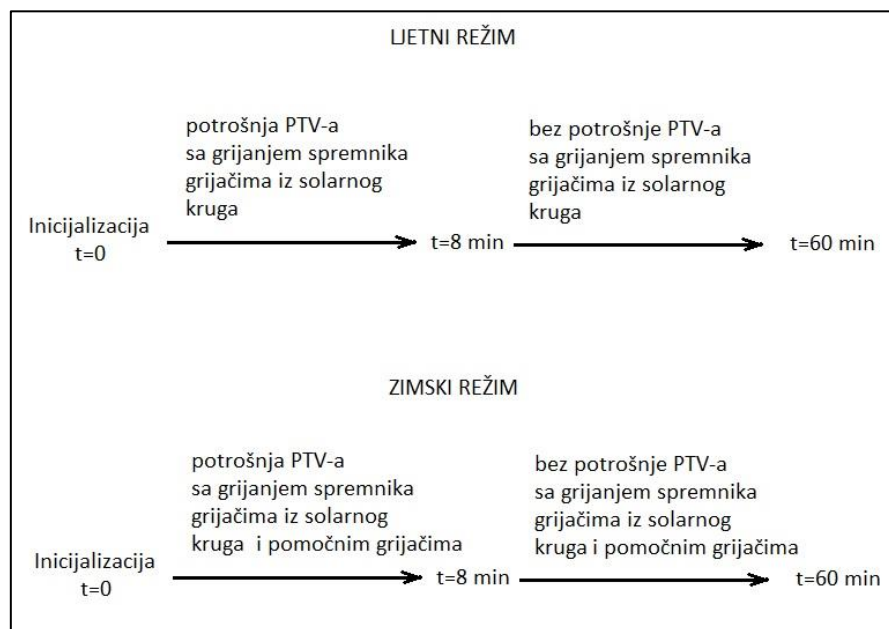
$$\vartheta_{\text{sto;vol};i} = \vartheta_{\text{sto;vol};i+1} = \frac{\vartheta_{\text{sto;vol};i} \cdot V_{\text{sto;vol};i} + \vartheta_{\text{sto;vol};i+1} \cdot V_{\text{sto;vol};i+1}}{V_{\text{sto;vol};i} + V_{\text{sto;vol};i+1}} \quad (8.4)$$

Proračun se vodi iterativno sve dok se ne postigne stabilna temperaturna stratifikacija po visini spremnika.

U koraku 8. se proračunavaju toplinski gubici kroz stjenke spremnika koji su zanemareni u ovom modelu.

9. REZULTATI SIMULACIJE

Računalna simulacija numeričkog modela je provedena za zimski i ljetni režim rada solarnog spremnika u periodu od 13 do 14 sati te uključuje razdoblje sa potrošnjom PTV-a i bez potrošnje PTV-a. Na slici 10. je shematski prikazana vremenska traka tijeka simulacije.



Slika 10. Shematski prikaz vremenske trake računalne simulacije

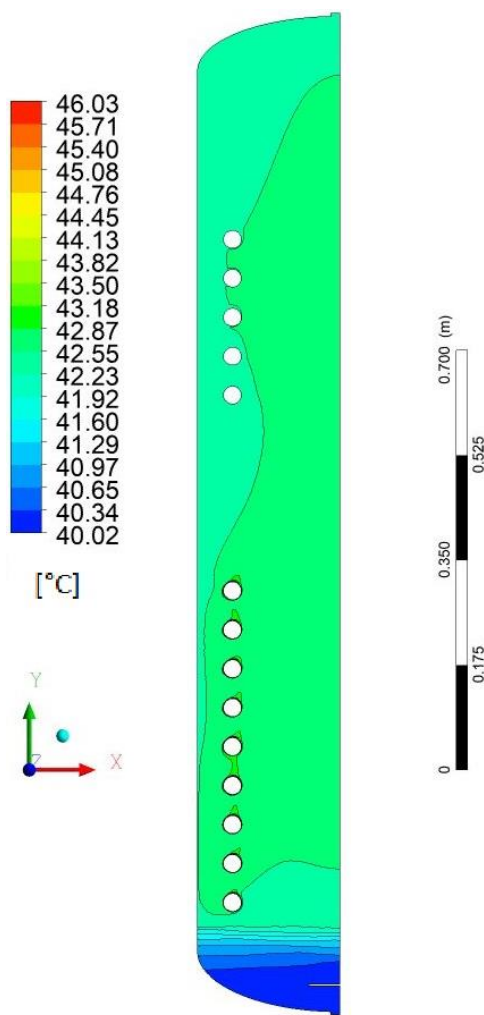
Kako bi rezultati bili realniji provela se simulacija inicijalizacije kojom se izbjeglo da u početnom trenutku ($t=0$) bude homogena temperatura vode u spremniku. Rezultati temperaturnog polja dobivenih računalnom simulacijom u programu ANSYS Fluentu su uspoređeni sa rezultatima dobivenim sa proračunom prema normi HRN EN 15316-5:2017. U stupčanim dijagramima su uspoređene srednje temperature po segmentima na koje je spremnik podijeljen radi proračuna prema normi.

9.1. Ljetni režim rada spremnika

Za ljetni režim rada u modelu solarnog spremnika je bio uključen grijač iz solarnog kruga. Izmjenjivač je smješten u donjem dijelu spremnika gdje radna tvar iz kolektora predavala 1625 W toplinskog toka vodi u spremniku.

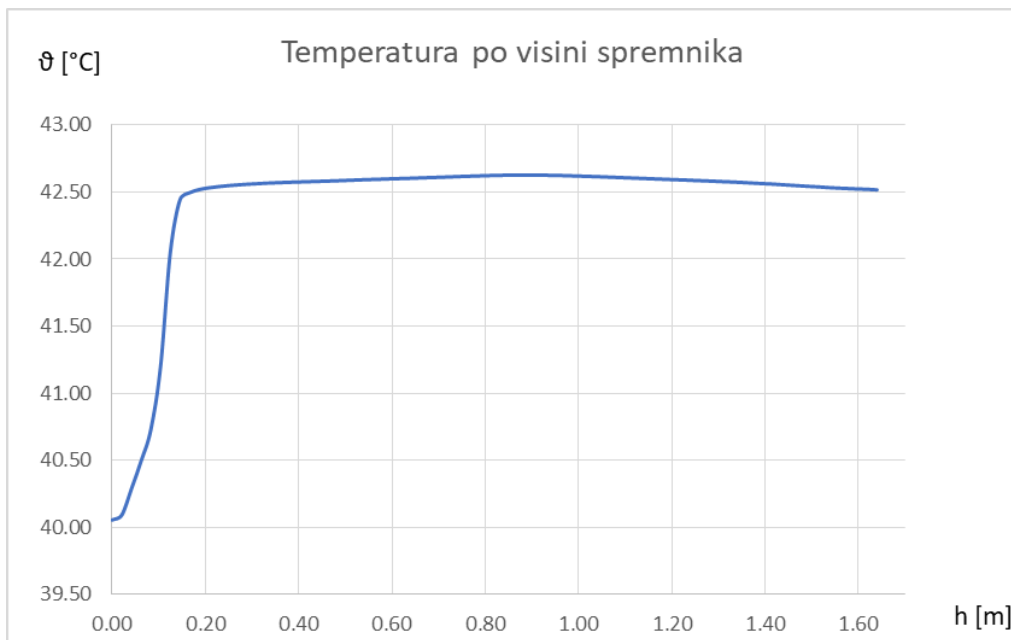
9.1.1. Inicijalizacija (t=0 min)

Inicijalizacija za ljetni režim rada se provela tako da se voda u solarnom spremniku početne temperature 40°C zagrijavala 30 minuta solarnim grijačem. Dobiveni rezultati temperaturnog polja su prikazani na slici 11. gdje je uočljivo da se voda u dijelu spremnika koji se nalazi ispod solarnih izmjenjivača topline nije znatnije zagrijala u odnosu na gornje dijelove spremnika. Rezultati inicijalizacije su korišteni kao početni uvjeti za daljnju dinamičku simulaciju.



Slika 11. Temperaturno polje u spremniku dobiveno inicijalizacijom uz ljetnom režimu rada solarnog spremnika

Na slici 12. se može vidjeti raspodjela temperature po visini spremnika od ulaza svježe vode u spremnik ($h=0$ m) do izlaza potrošne tople vode ($h= 1.66$ m). Uočljiv je veliki temperaturni gradijent od $h=0$ m do $h=0.15$ m odnosno u području ispod izmjenjivača.



Slika 12. Temperatura vode po visini spremnika nakon inicijalizacije za ljetni režim rada solarnog spremnika

U tablici 6. su dane vrijednosti temperature u spremniku na pojedinoj visini.

Tablica 6 Tablični prikaz inicijalne temperatura vode na pojedinim visinama u ljetnom režimu rada solarnog spremnika

| h [mm] | θ [°C] |
|----------|---------------|
| 0 | 40.05 |
| 100 | 41.15 |
| 200 | 42.53 |
| 300 | 42.56 |
| 400 | 42.58 |
| 500 | 42.59 |
| 600 | 42.60 |
| 700 | 42.61 |
| 800 | 42.62 |
| 900 | 42.63 |

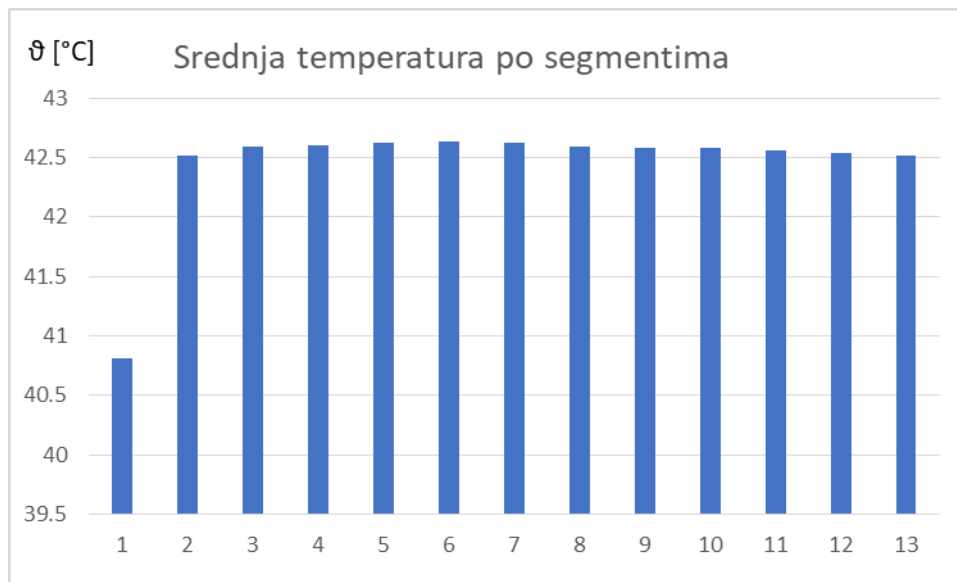
| | |
|------|-------|
| 1000 | 42.62 |
| 1100 | 42.60 |
| 1200 | 42.59 |
| 1300 | 42.57 |
| 1400 | 42.56 |
| 1500 | 42.53 |
| 1600 | 42.52 |

U tablici 7. i na stupčanom dijagramu sa slike 13. su dane osrednjene vrijednosti temperature vode u zamišljenim segmentima spremnika gdje je uočljivo da su temperature u spremniku poprilično ujednačene osim u prvom, najnižem segmentu u kojem se ne nalaze izmjenjivačke površine.

Tablica 7. Tablični prikaz osrednjih inicijalnih temperatura vode po segmentima spremnika u ljetnom režimu rada

| i | $\vartheta_{sr;i}$ [°C] |
|----|-------------------------|
| 1 | 40.81 |
| 2 | 42.52 |
| 3 | 42.59 |
| 4 | 42.60 |
| 5 | 42.62 |
| 6 | 42.63 |
| 7 | 42.62 |
| 8 | 42.59 |
| 9 | 42.58 |
| 10 | 42.58 |
| 11 | 42.56 |
| 12 | 42.54 |
| 13 | 42.52 |

Vrijednosti osrednjene temperature vode po segmentima su korištene za početno stanje kod proračuna spremnika prema normi.



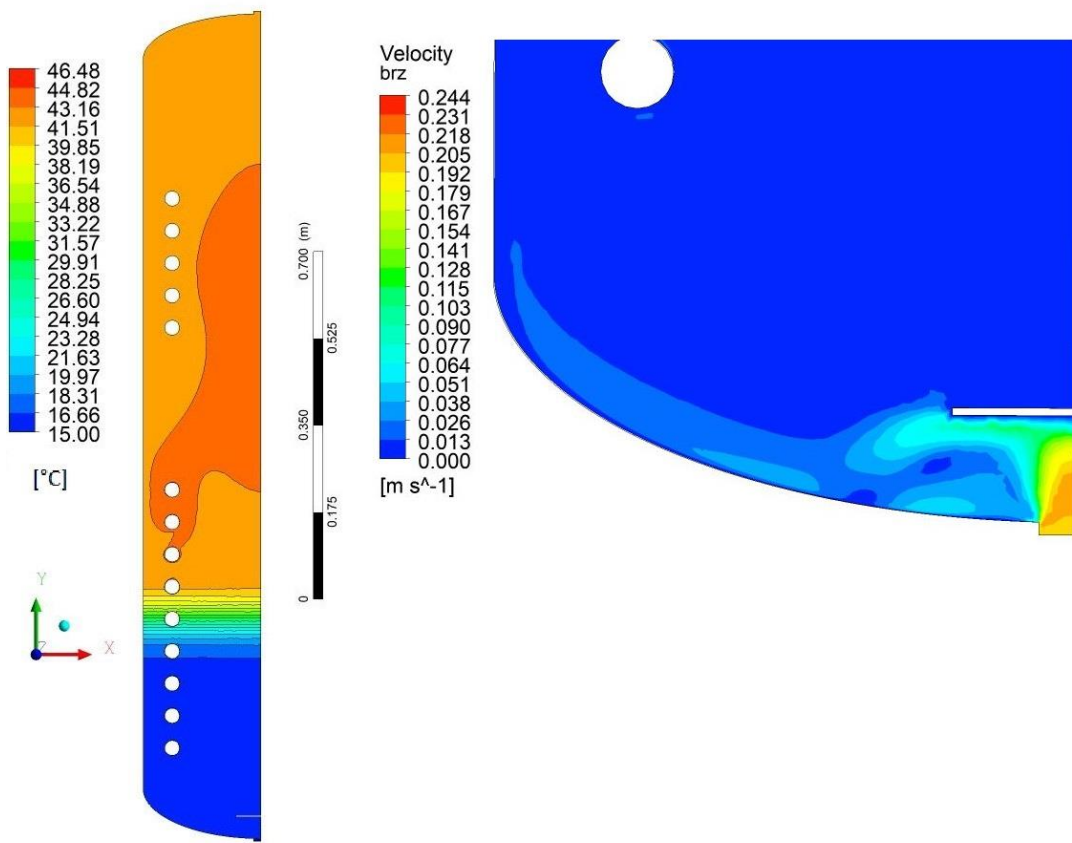
Slika 13. Dijagram uprosječene inicijalne temperature po segmentima spremnika u ljetnom režimu rada koje su dobivene računalnom simulacijom

9.1.2. Period sa potrošnjom PTV-a (od t=0 min do t=8 min)

Rezultati inicijalizacije su uzeti za početni uvjeti simulacije potrošnje PTV-a. Ulag hladne vode u donjem dijelu spremnika uvjetovan je potrošnjom PTV-a koja za prosječno tuširanje u kućanstvu iznosi 9 litara u minuti. Toj količini vode odgovara ulaz svježe vode u spremnik sa brzinom od 0.2 m/s. Temperatura ulazne vode u spremnik je 15 °C.

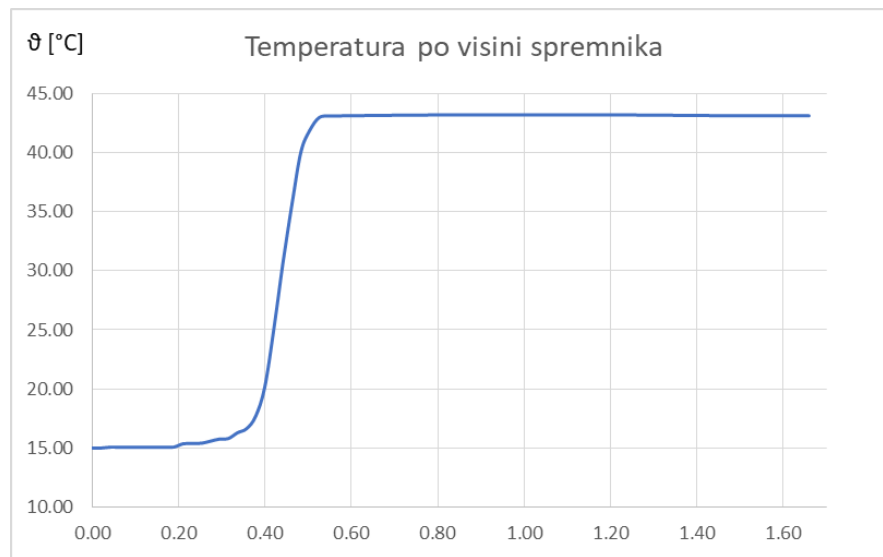
Na slici 14. se vidi temperaturno polje u spremniku nakon 8 minuta potrošnje PTV-a gdje se vidi velika temperaturna stratifikacija oko središnjih izmjenjivačkih površina solarnog kruga uzrokovanih ulaskom hladne vode.

Na slici je također vidljiv efekt podizanja vode gdje nije došlo do velikog miješanja tople vode i ulazne hladne vode što je i poželjno. Na slici je prikazano i polje brzina strujanja u blizini ulaza u spremnik gdje se vidi utjecaj skretića mlaza vode na prodor u gornje slojeve.



Slika 14. Temperaturno polje i polje brzina strujanja u spremniku nakon 8 minuta potrošnje PTV-a u ljetnom režimu rada solarnog spremnika

U dijagramu na slici 15. je prikazana temperatura potrošne vode u funkciji visine spremnika gdje je uočljiva velika temperaturna stratifikacija između $h=0.3$ m i $h=0.5$ m. Uspoređujući sa dijagramom inicijalnog stanja vidljivo je da se područje u kojem je izrazita temperaturna stratifikacija pomaknulo prema gore.



Slika 15. Temperatura vode po visini spremnika nakon potrošnje PTV-a

U tablici 8 su dane vrijednosti temperature vode u spremniku za pojedine visine spremnika.

Tablica 8. Tablični prikaz temperatura vode na pojedinim visinama spremnika

| h [mm] | θ [°C] |
|--------|---------------|
| 0 | 15.00 |
| 100 | 15.06 |
| 200 | 15.29 |
| 300 | 15.79 |
| 400 | 23.44 |
| 500 | 42.83 |
| 600 | 43.14 |
| 700 | 43.17 |
| 800 | 43.20 |
| 900 | 43.21 |
| 1000 | 43.21 |
| 1100 | 43.20 |
| 1200 | 43.19 |
| 1300 | 43.17 |
| 1400 | 43.14 |
| 1500 | 43.12 |

| | |
|------|-------|
| 1600 | 43.12 |
|------|-------|

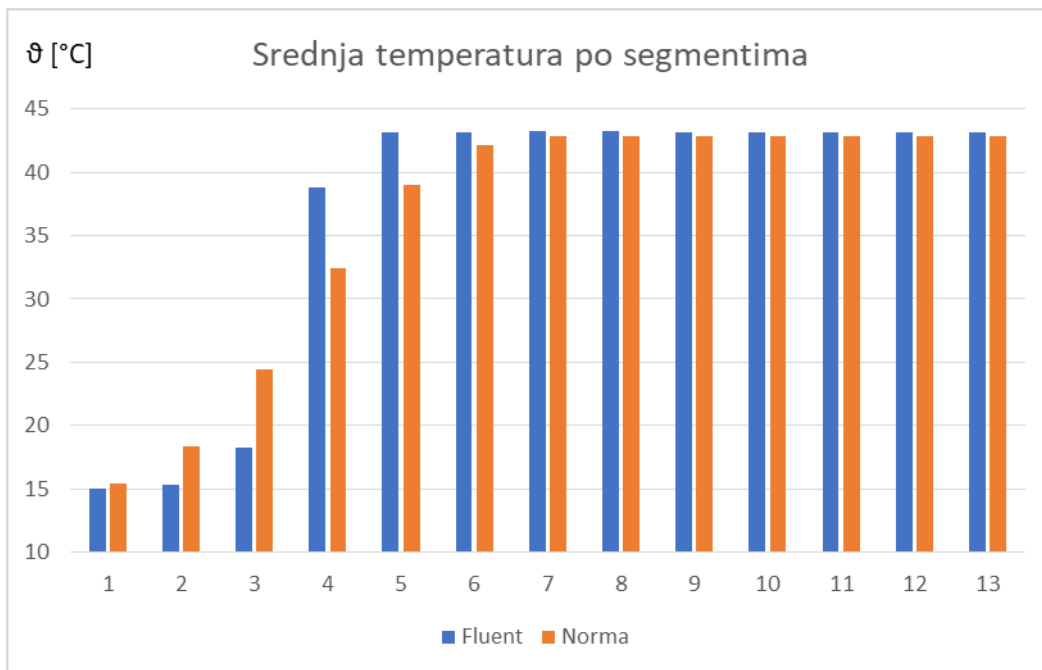
U tablici 9. je prikazana usporedba osrednjih vrijednosti temperature vode po zamišljenim segmentima dobivenih računalnom simulacijom $\vartheta_{sr;i}$ i vrijednosti izračunatih prema normi $\vartheta_{sto;vol;i}$.

Tablica 9. Tablični prikaz srednje temperature vode po segmentima spremnika izračunatih računalnom simulacijom i prema normi nakon potrošnje PTV-a u ljetnom režimu rada

| i | $\vartheta_{sr;i}$ [°C] | $\vartheta_{sto;vol;i}$ [°C] | $\vartheta_{sr;i} - \vartheta_{sto;vol;i}$ |
|----|----------------------------|---------------------------------|--|
| 1 | 15.04 | 15.43 | 0.00 |
| 2 | 15.34 | 18.36 | -1.82 |
| 3 | 18.30 | 24.45 | -2.50 |
| 4 | 38.84 | 32.38 | 3.06 |
| 5 | 43.13 | 38.97 | 1.39 |
| 6 | 43.18 | 42.17 | 1.41 |
| 7 | 43.2 | 42.79 | 1.42 |
| 8 | 43.2 | 42.83 | 1.94 |
| 9 | 43.19 | 42.85 | -0.21 |
| 10 | 43.18 | 42.85 | -0.16 |
| 11 | 43.16 | 42.85 | -0.14 |
| 12 | 43.13 | 42.85 | -0.13 |
| 13 | 43.12 | 42.85 | -0.13 |

Isti rezultati su prikazani i u dijagramu na slici 16. u kojem se vidi da vrijednosti temperature izračunate prema normi znatnije odstupaju od uprosječene temperature dobivene računalnom simulacijom u segmentima 2, 3, 4 i 5 u kojima se i nalaze izmjenjivači solarnog kruga.

Primjećuje se blaži porast temperature tih dijelova u odnosu na rezultate računalne simulacije.

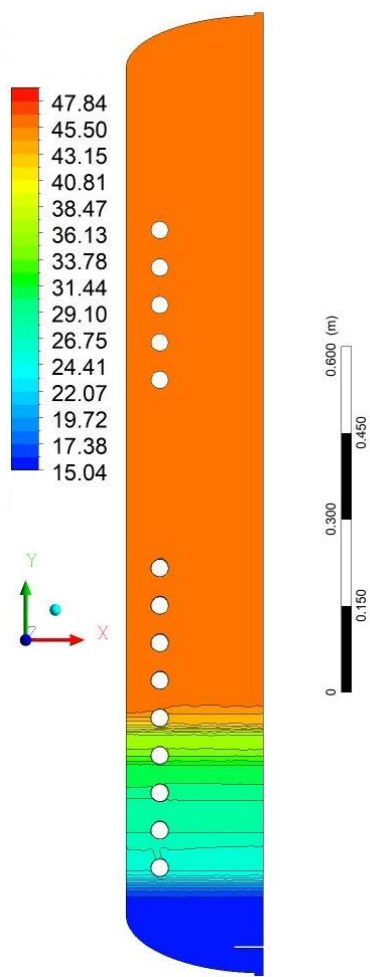


Slika 16. Usporedba temperature vode po segmentima dobivenih računalnom simulacijom i izračunatih prema normi

9.1.3. Period bez potrošnje PTV-a (od t=8 min do t= 60 min)

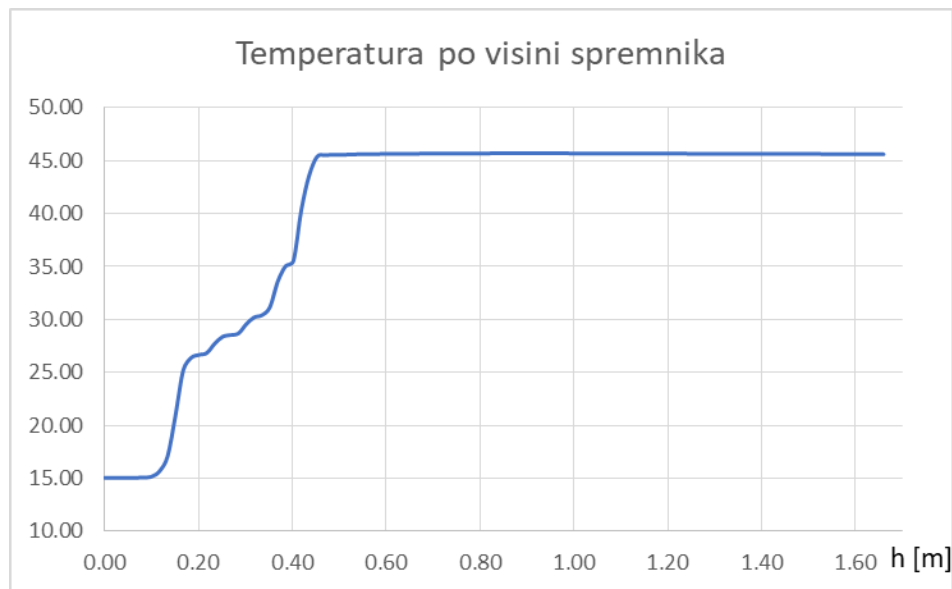
Rezultati prethodne simulacija potrošnje PTV-a su uzeti za početne uvjete simulacije grijanja spremnika solarnim grijачima bez potrošnje PTV-a u trajanju od 52 minute.

Rezultati temperaturnog polja dobivenih računalnom simulacijom su prikazani na slici 17. gdje je uočljiv veći temperaturni gradijent po visini spremnika od $h=0.1$ m do $h=0.45$ m, dok je temperatura vode iznad tog dijela gotovo ujednačena.



Slika 17. Temperaturno polje u spremniku nakon 52 minute bez potrošnje PTV-a u ljetnom režimu rada

U dijagramu na slici 18. je prikazana temperatura vode po visini spremnika gdje je uočljiva izrazita temperaturna stratifikacija od $h=0.12$ m do $h=0.45$ m. U tablici 10. su dane vrijednosti temperature za pojedine visine spremnika.



Slika 18. Temperature vode po visini spremnika nakon 52 minute zagrijavanja bez potrošnje PTV-a za ljetni režim rada

U tablici 10. su dane vrijednosti temperature vode u spremniku na pojedinim visinama spremnika.

Tablica 10. Tablični prikaz temperature vode po visini spremnika nakon 52 minute bez potrošnje PTV-a u ljetnom režimu rada

| h [mm] | ϑ [$^{\circ}$ C] |
|----------|-----------------------------|
| 0 | 15.04 |
| 100 | 15.23 |
| 200 | 26.70 |
| 300 | 30.01 |
| 400 | 38.10 |
| 500 | 45.58 |
| 600 | 45.65 |
| 700 | 45.68 |
| 800 | 45.70 |
| 900 | 45.70 |
| 1000 | 45.69 |
| 1100 | 45.68 |
| 1200 | 45.66 |

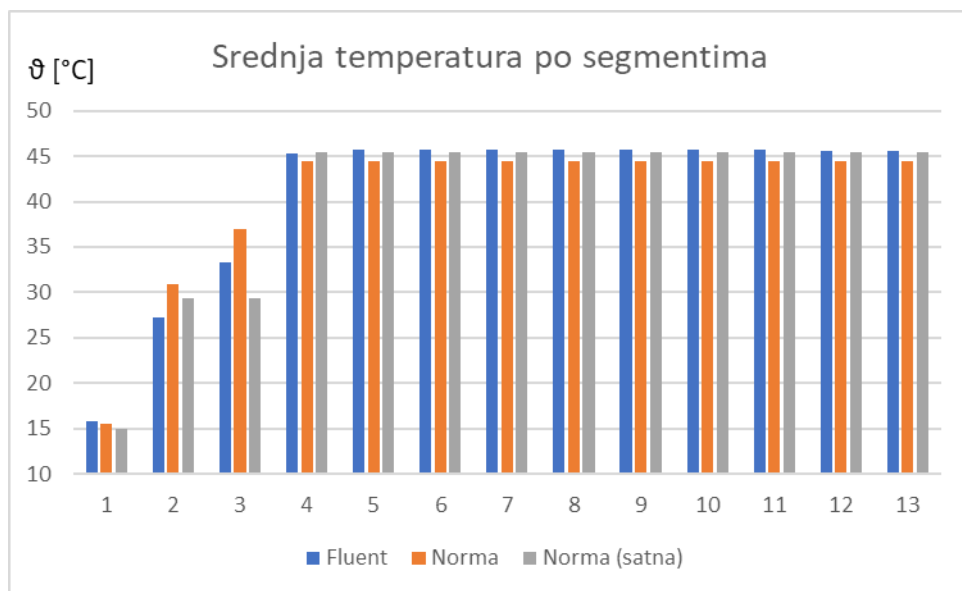
| | |
|------|-------|
| 1300 | 45.65 |
| 1400 | 45.64 |
| 1500 | 45.63 |
| 1600 | 43.12 |

U Tablici 11. su uspoređene vrijednosti osrednjene temperature po segmentima dobivene računalnom simulacijom i vrijednosti temperature izračunate prema normi (minutna i satna simulacija).

Tablica 11. Tablični prikaz temperature vode nakon 52 minute bez potrošnje PTV-a po segmentima spremnika izračunatih računalnom simulacijom i prema normi

| i | $\vartheta_{sr;i}$ [°C] | $\vartheta_{sto;vol;i}$ [°C] | $\vartheta_{sr;i} - \vartheta_{sto;vol;i}$ | $\vartheta_{sto;vol;i}$ (satna) | $\vartheta_{sr;i} - \vartheta_{sto;vol;i}$ (satna) |
|----|----------------------------|---------------------------------|--|------------------------------------|--|
| 1 | 15.78 | 15.43 | 0.35 | 15.00 | 0.78 |
| 2 | 27.21 | 30.85 | -3.64 | 29.41 | -2.20 |
| 3 | 33.32 | 36.93 | -3.61 | 29.41 | 3.91 |
| 4 | 45.27 | 44.46 | 0.81 | 45.46 | -0.19 |
| 5 | 45.65 | 44.46 | 1.19 | 45.46 | 0.19 |
| 6 | 45.69 | 44.46 | 1.23 | 45.46 | 0.23 |
| 7 | 45.7 | 44.46 | 1.24 | 45.46 | 0.24 |
| 8 | 45.68 | 44.46 | 1.22 | 45.46 | 0.22 |
| 9 | 45.67 | 44.46 | 1.21 | 45.46 | 0.21 |
| 10 | 45.66 | 44.46 | 1.20 | 45.46 | 0.20 |
| 11 | 45.65 | 44.46 | 1.19 | 45.46 | 0.19 |
| 12 | 45.64 | 44.46 | 1.18 | 45.46 | 0.18 |
| 13 | 45.63 | 44.46 | 1.17 | 45.46 | 0.17 |

Isti rezultati su prikazani u dijagramu na slici 19. Najmanje odstupanje dobivenih vrijednosti su u prvom segmentu, dok su najveća odstupanja u drugom i trećem segmentu. Od petog pa sve do zadnjeg segmenta vrijednosti izračunate prema normi su približno 1.2 °C manje od onih vrijednosti koje su dobivene simulacijom. Isto tako je zanimljivo da su manja odstupanja rezultata dobivenih računalnom simulacijom u slučaju kada se vodila satna simulacija proračuna prema normi.



Slika 19. Usporedba srednje temperature vode po segmentima dobivenih računalnom simulacijom i izračunatih prema normi nakon 52 minute bez potrošnje PTV-a u ljetnom režimu rada

9.2. Zimski režim rada solarnog spremnika

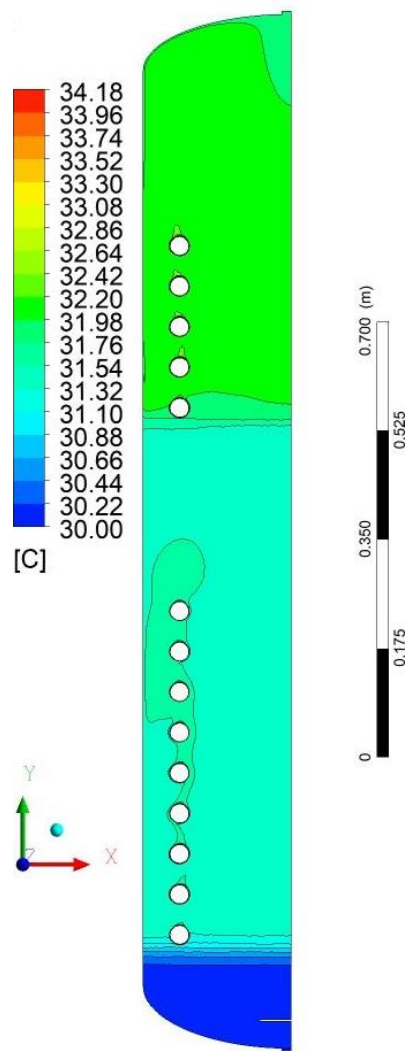
Kod zimskog režim rada u modelu solarnog spremnika su bili uključeni i solarni i pomoćni grijaci . Solarni izmjenjivač koji se nalazi u donjem dijelu spremnika daje 478 W dok grijaci pomoćnog kruga daju 740 W toplinskog toka.

9.2.1. Inicijalizacija ($t = 0 \text{ min}$)

Inicijalizacija za ljetni režim rada se provela tako da se voda u solarnom spremniku početne temperature 30°C zagrijavala 30 minuta solarnim i pomoćnim grijaćima.

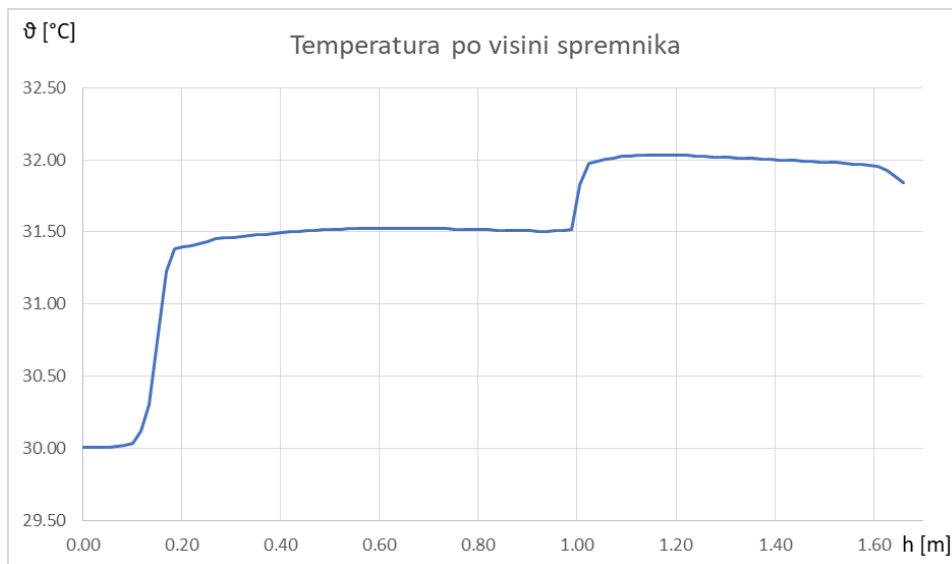
Dobiveni rezultati temperaturnog polja su prikazani na slici 20. gdje je uočljivo da se voda u dijelu spremnika ispod solarnih izmjenjivača topline nije znatnije zagrijala u odnosu na gornje dijelove spremnika. Isto tako je uočljivo da je voda u spremniku progrijanija od donje izmjenjivačke površine pomoćnog grijaća prema vrhu spremnika.

Rezultati inicijalizacije su korišteni kao početni uvjeti za daljnju dinamičku simulaciju perioda bez potrošnje PTV-a.



Slika 20. Temperaturno polje u spremniku dobiveno inicijalizacijom za zimski režim rada solarnog spremnika.

U dijagramu na slici 21. je prikazana temperatura vode po visini spremnika gdje možemo vidjeti 2 uska područja temperaturnih gradijenata. Prvo područje se nalazi ispod najniže izmjenjivačke površine solarnog kruga, a drugo područje ispod najniže izmjenjivačke površine pomoćnog grijača. Unatoč postojanju tih temperaturnih gradijenata nije prisutna značajnija temperaturna stratifikacija u spremniku.



Slika 21. Temperatura vode po visini spremnika nakon inicijalizacije za zimski režim rada solarnog spremnika

U tablici 12. su dane vrijednosti temperature vode na pojedinim visinama spremnika nakon inicijalizacije.

Tablica 12. Tablični prikaz inicijalne temperatura vode po visini spremnika u zimskom režimu rada solarnog spremnika

| h [mm] | θ [°C] |
|----------|---------------|
| 0 | 30.00 |
| 100 | 30.04 |
| 200 | 31.40 |
| 300 | 31.47 |
| 400 | 31.50 |
| 500 | 31.52 |
| 600 | 31.53 |
| 700 | 31.52 |
| 800 | 31.51 |
| 900 | 31.51 |
| 1000 | 31.99 |
| 1100 | 32.03 |
| 1200 | 32.03 |

| | |
|------|-------|
| 1300 | 32.01 |
| 1400 | 31.99 |
| 1500 | 31.97 |
| 1600 | 31.84 |

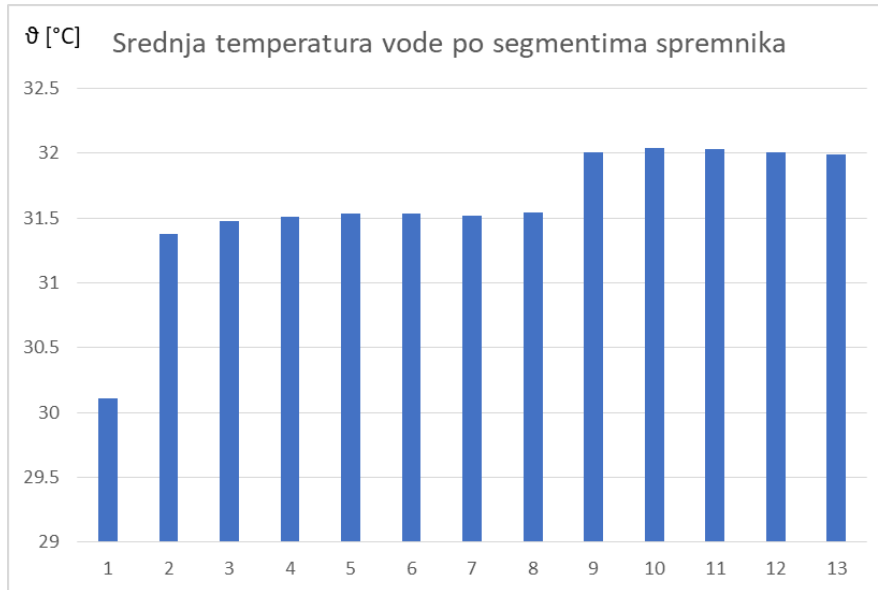
U tablici 13. su dane osrednjene vrijednosti temperature po segmentima spremnika izračunate računalnom simulacijom. Te vrijednosti su uzete za inicijalno stanje kod proračuna spremnika prema normi.

Tablica 13. Tablični prikaz osrednjih inicijalne temperature vode po segmentima spremnika za zimski režim rada solarnog spremnika

| i | ϑ_{sr} [°C] |
|----|-----------------------|
| 1 | 30.11 |
| 2 | 31.38 |
| 3 | 31.48 |
| 4 | 31.51 |
| 5 | 31.53 |
| 6 | 31.53 |
| 7 | 31.52 |
| 8 | 31.54 |
| 9 | 32.01 |
| 10 | 32.04 |
| 11 | 32.03 |
| 12 | 32.01 |
| 13 | 31.99 |

Isti rezultati su prikazani u dijagramu na slici 22. gdje se uočavaju 3 temperaturna područja. Prvo područje čini prvi i najniži segment temperature 30.11 °C. Drugo područje čine segmenti 2, 3, 4, 5, 6, 7 i 8 koji imaju temperaturu oko 31.5 °C. Zanimljivo je to da to temperaturno područje obuhvaća segmente od najnižeg segmenta u kojem se nalazi grijач solarnog kruga do segmenta koji se nalazi ispod najnižeg segmenta u kojem se nalazi pomoći grijач. Treće temperaturno područje čine segmenti 9, 10, 11, 12 i 13 odnosno segmenti od najnižeg

segmenta u kojem se nalazi pomoćni grijач pa sve do vrha spremnika. Vrijednost temperature u trećem temperaturnom području se kreće oko 32°C .

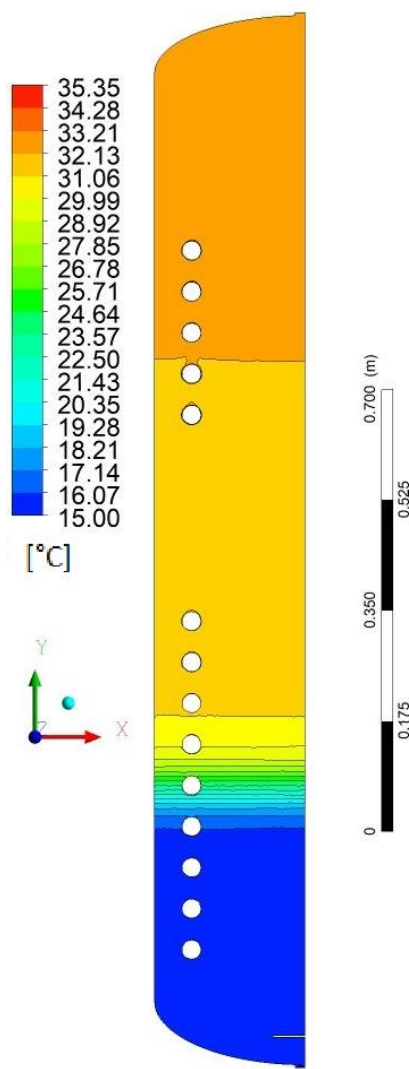


Slika 22. Dijagram uprosječene inicijalne temperature po segmentima spremnika u zimskom režimu rada koje su dobivene računalnom simulacijom

9.2.2. Period sa potrošnjom PTV-a (od $t=0$ min do $t=8$ min)

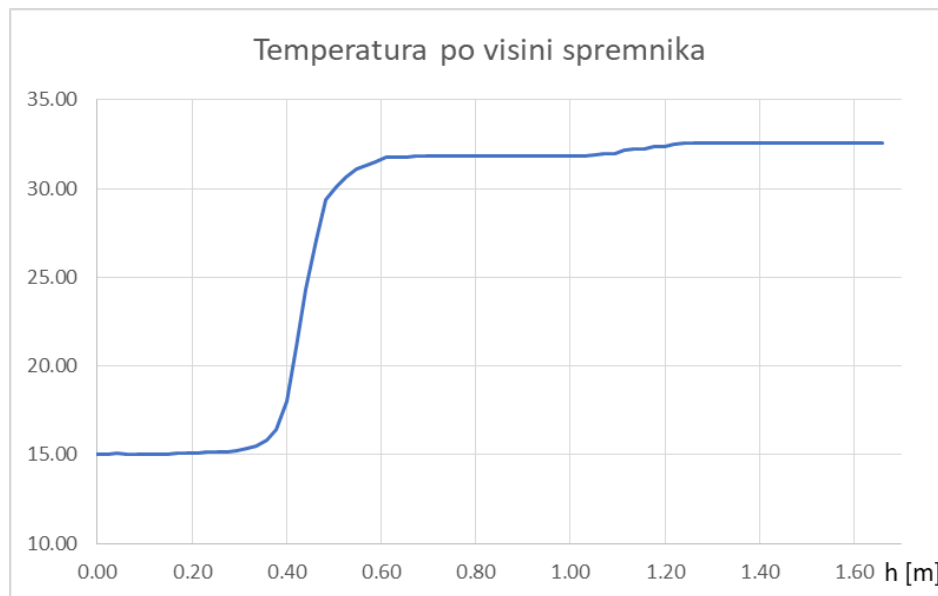
Rezultati inicijalizacije za zimski režim rada su uzeti za početne uvjete simulacije potrošnje PTV-a. I u zimskom režimu rada solarnog spremnika uzeta je ista potrošnja PTV-a kao i u ljetnom režimu u iznosu od 9 litara u minuti. Toj količini vode odgovara ulaz svježe vode u spremnik sa brzinom od 0.2 m/s. Temperatura ulazne vode u spremnik je 15°C .

Na slici 23. se vidi temperaturno polje u spremniku nakon 8 minuta potrošnje PTV-a gdje se uočava veliki temperaturni gradijent po visini spremnika u području središnjih izmjenjivačkih površina solarnog kruga. Isto tako se vidi temperaturni gradijent po visini spremnika oko pomoćnog izmjenjivača ali je on znatno nižeg iznosa.



Slika 23. Prikaz temperaturnog polja u spremnika nakon 8 minuta potrošnje PTV-a u zimskom režimu rada

U dijagramu na slici 24. je prikazana temperatura vode po visini spremnika. Na dijagramu se vidi da od visine $h=0.3$ m pa do $h=0.6$ m raste temperatura vode u spremniku od 15.35°C do 31.79°C . Taj veliki temperaturni gradijent je posljedica ulaska hladne vode u spremnik prilikom potrošnje PTV-a koja se djelomično izmiješala sa toploim vodom iz spremnik. U dijagramu se također vidi blagi porast temperature u oko središnjih izmjenjivačkih površina pomoćnog grijajuća. Uspoređujući sa inicijalnim stanjem vidi se da su se temperaturni gradijenti tijekom potrošnje PTV-a pomakli prema gore.



Slika 24. Dijagramske prikaze temperature vode po visini spremnika nakon 8 minuta potrošnje PTV-a u zimskom režimu rada

U tablici 14. su dane vrijednosti temperature vode na pojedinim visinama spremnika nakon osam minuta potrošnje PTV-a.

Tablica 14. Tablični prikaz temperature vode po visini spremnika nakon 8 minuta potrošnje PTV-a u zimskom režimu rada

| h [mm] | θ [°C] |
|--------|--------|
| 0 | 15.00 |
| 100 | 15.06 |
| 200 | 15.07 |
| 300 | 15.35 |
| 400 | 20.09 |
| 500 | 30.56 |
| 600 | 31.79 |
| 700 | 31.81 |
| 800 | 31.81 |
| 900 | 31.81 |
| 1000 | 31.82 |
| 1100 | 32.22 |
| 1200 | 32.55 |

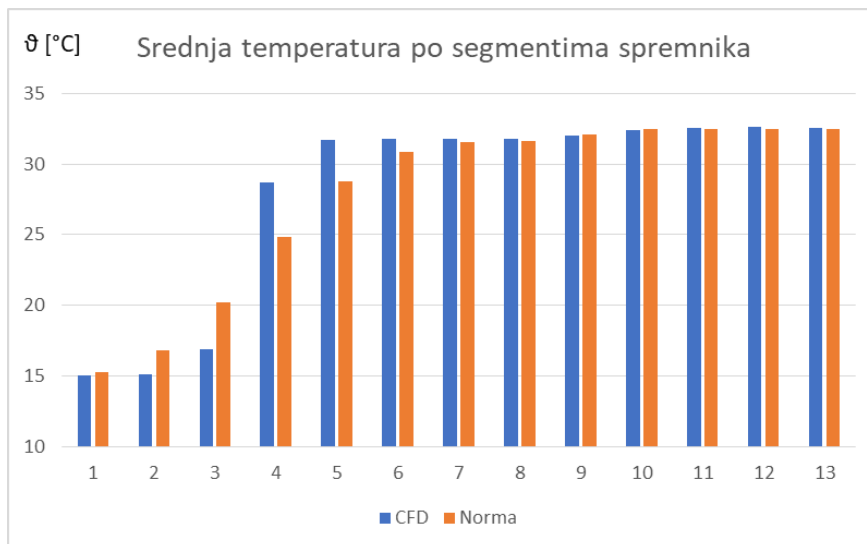
| | |
|------|-------|
| 1300 | 32.58 |
| 1400 | 32.59 |
| 1500 | 32.59 |
| 1600 | 32.58 |

U tablici 15. su uspoređene osrednjene vrijednosti temperature vode po segmentima spremnika dobivene računalnom simulacijom numeričkog modela i vrijednosti temperature izračunate prema normi.

Tablica 15. Tablični prikaz vrijednosti temperature vode po segmentima nakon 8 minuta potrošnje PTV-a u zimskom režimu rada spremnika izračunatih računalnom simulacijom i prema normi

| i | $\vartheta_{sr;i}$ [°C] | $\vartheta_{sto;vol;i}$ [°C] | $\vartheta_{sr;i} - \vartheta_{sto;vol;i}$ |
|----|----------------------------|---------------------------------|--|
| 1 | 15.04 | 15.25 | -0.21 |
| 2 | 15.13 | 16.79 | -1.66 |
| 3 | 16.85 | 20.20 | -3.35 |
| 4 | 28.69 | 24.80 | 3.89 |
| 5 | 31.69 | 28.76 | 2.93 |
| 6 | 31.81 | 30.88 | 0.93 |
| 7 | 31.82 | 31.54 | 0.28 |
| 8 | 31.82 | 31.64 | 0.18 |
| 9 | 32.01 | 32.13 | -0.12 |
| 10 | 32.43 | 32.47 | -0.04 |
| 11 | 32.58 | 32.47 | 0.11 |
| 12 | 32.6 | 32.47 | 0.13 |
| 13 | 32.59 | 32.47 | 0.12 |

Isti rezultati su prikazani u dijagramu na slici 25. gdje se uočavaju osjetnija odstupanja dobivenih rezultata u segmentima 2, 3, 4, 5, 6 koji obuhvaćaju izmjenjivačke površine solarnog kruga. U segmentima iznad izmjenjivača solarnog kruga dobivene vrijednosti temperature odstupaju maksimalno 0.28 °C. Također se u tim segmentima uočava nagliji porast temperature po segmentima u računalnoj simulaciji, dok je prema vrijednostima izračunatim prema normi taj prijelaz nešto blaži.

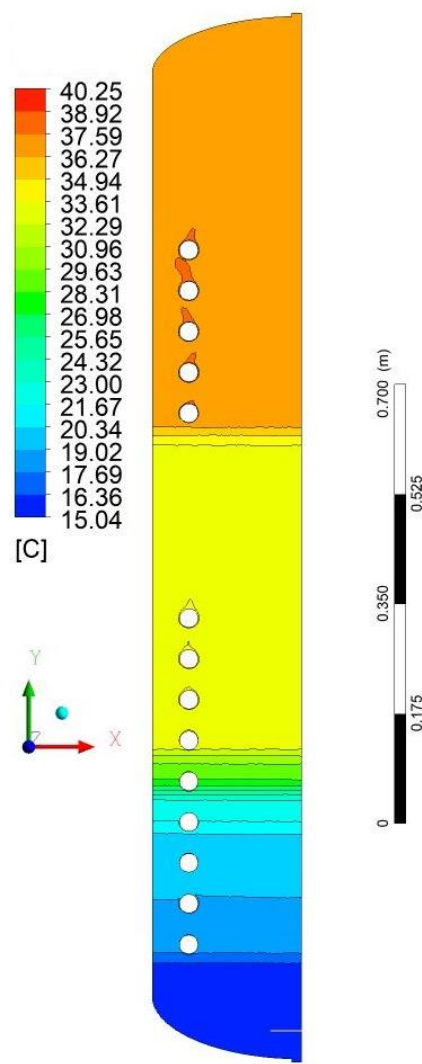


Slika 25. Usporedba srednje temperature vode po segmentima dobivene računalnom simulacijom i izračunatih prema normi nakon 8 minute potrošnje PTV-a u zimskom režimu rada

9.2.3. Period bez potrošnje PTV-a (od t=8 min do t= 60 min)

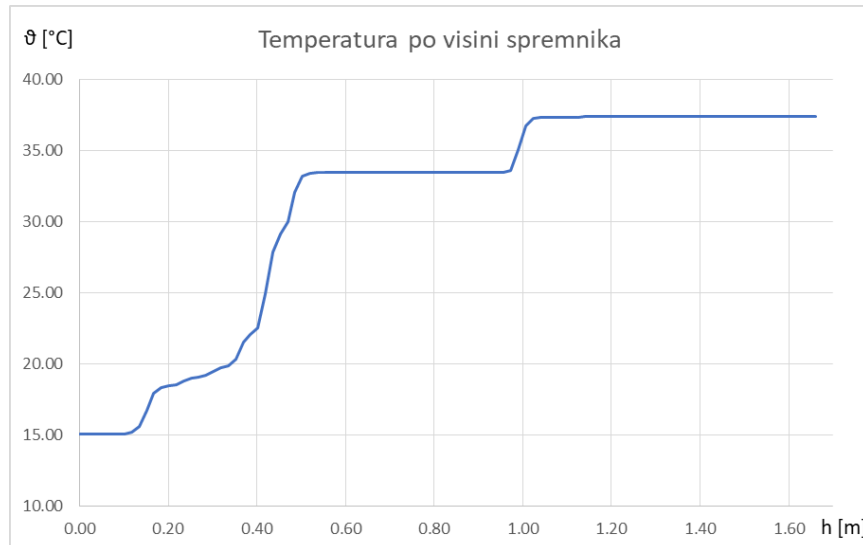
Rezultati prethodne simulacije potrošnje PTV-a su uzeti za inicijalne podatke u simulaciji zagrijavanja spremnika solarnim i pomoćnim grijaćima 52 minute bez potrošnje PTV-a.

Na slici 26. je prikazano temperaturno polje u spremniku koje je dobiveno nakon 52 minute zagrijavanja vode u spremniku. U donjem dijelu spremnika je uočljiva temperaturna stratifikacija. Također je uočljiv temperaturni gradijent ispod zadnje izmjenjivačke površine pomoćnog grijaća. Područje ispod izmjenjivača solarnog kruga se nije znatnije progrijao što je posljedica uzgonskog djelovanja toplijih čestica vode.



Slika 26. Temperaturno polje u spremniku nakon 52 minute zagrijavanja solarnim i pomoćnim grijaćima bez potrošnje PTV-a u zimskom režimu rada

U dijagramu na slici 27. su prikazane vrijednosti temperature po visini spremnika. Uočava se veliki temperaturni gradijent u području od $h=0.12$ m do $h=0.45$ m gdje temperatura raste od 15°C do 33.5°C .



Slika 27. Dijagramski prikaz temperature vode po visini spremnika nakon 52 minute bez potrošnje PTV-a u zimskom režimu rada

U tablici 16. su dane vrijednosti temperature vode u spremniku na pojedinim visinama.

Tablica 16. Tablični prikaz temperature vode po visini spremnika nakon 52 minute bez potrošnje PTV-a u zimskom režimu rada

| h [mm] | ϑ [°C] |
|--------|------------------|
| 0 | 15.04 |
| 100 | 15.10 |
| 200 | 18.46 |
| 300 | 19.66 |
| 400 | 24.11 |
| 500 | 33.37 |
| 600 | 33.48 |
| 700 | 33.49 |
| 800 | 33.49 |
| 900 | 33.49 |
| 1000 | 37.33 |
| 1100 | 37.37 |
| 1200 | 37.39 |
| 1300 | 37.40 |
| 1400 | 37.41 |

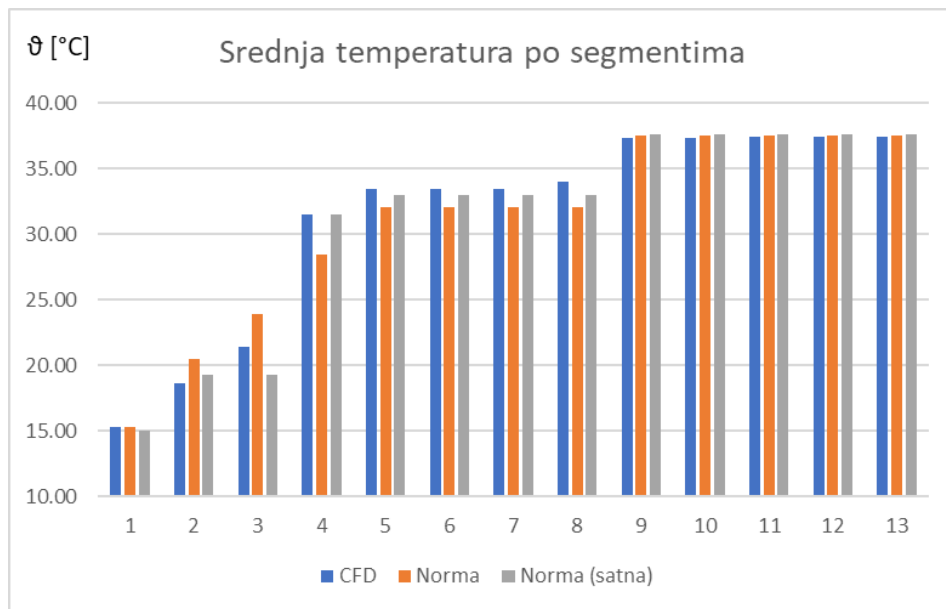
| | |
|------|-------|
| 1500 | 37.42 |
| 1600 | 37.38 |

U tablici 17. su uspoređene temperature vode po segmentima koje su dobivene računalnom simulacijom i proračunom prema normi.

Tablica 17. Tablični prikaz vrijednosti temperature vode po segmentima nakon 52 minute bez potrošnje PTV-a u zimskom režimu rada spremnika izračunatih računalnom simulacijom i prema normi

| i | $\vartheta_{sr;i}$ [°C] | $\vartheta_{sto;vol;i}$ [°C] | $\vartheta_{sr;i} - \vartheta_{sto;vol;i}$ | $\vartheta_{sto;vol;i}$ (satna) | $\vartheta_{sr;i} - \vartheta_{sto;vol;i}$ (satna) |
|----|----------------------------|---------------------------------|--|------------------------------------|---|
| 1 | 15.25 | 15.25 | 0.00 | 15.00 | 0.25 |
| 2 | 18.64 | 20.46 | -1.82 | 19.24 | -0.60 |
| 3 | 21.37 | 23.87 | -2.50 | 19.24 | 2.13 |
| 4 | 31.53 | 28.47 | 3.06 | 31.50 | 0.03 |
| 5 | 33.47 | 32.08 | 1.39 | 32.99 | 0.48 |
| 6 | 33.49 | 32.08 | 1.41 | 32.99 | 0.50 |
| 7 | 33.50 | 32.08 | 1.42 | 32.99 | 0.51 |
| 8 | 34.02 | 32.08 | 1.94 | 32.99 | 1.03 |
| 9 | 37.34 | 37.55 | -0.21 | 37.64 | -0.30 |
| 10 | 37.39 | 37.55 | -0.16 | 37.64 | -0.25 |
| 11 | 37.41 | 37.55 | -0.14 | 37.64 | -0.23 |
| 12 | 37.42 | 37.55 | -0.13 | 37.64 | -0.22 |
| 13 | 37.42 | 37.55 | -0.13 | 37.64 | -0.22 |

Isti rezultati su prikazani u dijagramu na slici 28. gdje je vidljivo da su mala odstupanja dobivenih rezultata u segmentima 9, 10, 11, 12 i 13 odnosno od najnižeg segmenta u kojem se nalazi izmjenjivačka površina pomoćnog grijača pa sve do najvišeg segmenta u spremniku.



Slika 28. Usporedba srednje temperature vode po segmentima dobivene računalnom simulacijom i izračunatih prema normi nakon 52 minute bez potrošnje PTV-a u zimskom režimu rada

10. STUPANJ EFIKASNOSTI KOLEKTORA

Poznavanje temperaturne stratifikacije potrošne tople vode u dijelu spremnika gdje se nalazi solarni izmjenjivač je zanimljivo u pogledu utjecaja na stupanj efikasnosti kolektora.

Kako je u modelu spremnika pretpostavljeno da se kroz cijelu izmjenjivačku površinu dovodi konstantan toplinski tok što u stvarnosti nije slučaj, napravljen je model solarnog izmjenjivača. Račun se provodi kroz segmente spremnika 2, 3, 4, 5 i 6 u kojima se nalazi solarni izmjenjivač. Korištene su osrednjene temperature vode u segmentima koje su dobivene računalnom simulacijom za ljetni režim rada. Pretpostavljena je ulazna temperatura radne tvari kolektorskog kruga koja iznosi 55 °C.

Toplinski tok koji se unosi u pojedini segment se računa prema slijedećoj jednadžbi

$$\Phi_{\text{sto;vol};i} = k \cdot (\vartheta_{\text{sto;vol};i} - \vartheta_{\text{kol;sr};i}) \cdot A_i \quad (10.1)$$

Gdje k predstavlja koeficijent prolaza topline za koji je pretpostavljeno da je konstantan duž izmjenjivača. Srednja temperatura radne tvari u pojedinom segmentu $\vartheta_{\text{kol;sr};i}$ je aritmetička sredina temperature sa kojom radna tvar ulazi u segment $\vartheta_{\text{kol;ulaz};i}$ i temperature sa kojom radna tvar izlazi iz segmenta $\vartheta_{\text{kol;izlaz};i}$. Član A_i predstavlja površinu izmjenjivača u segmentu i .

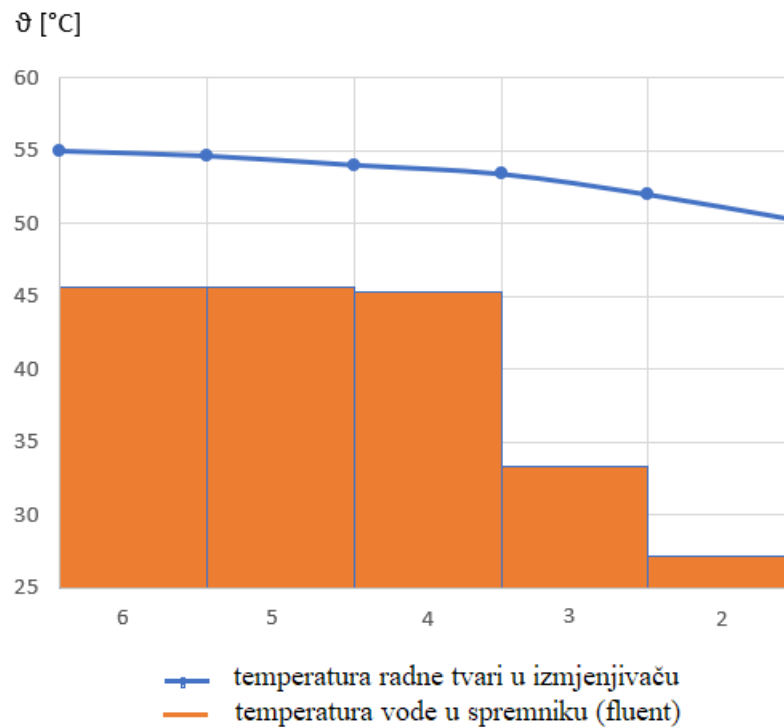
Izlazna temperatura iz segmenta se računa prema slijedećem izrazu

$$\vartheta_{\text{kol;izlaz};i} = \vartheta_{\text{kol;ulaz};i} - \frac{\Phi_{\text{sto;vol};i}}{c_w \cdot \dot{m}_{kol}} \quad (10.2)$$

Vrijednost masenog protok vode u kolektoru \dot{m}_{kol} je određena iskustveno prema površini kolektora i iznosi 0.08 kg/s.

Proračun se vodi iterativno tako da se pogodao koeficijent prolaza topline sve dok se ne bi zadovoljio ukupni toplinski tok koji se izmjenjuje između radne tvari i vode u spremniku u iznosu od 1625 W. Konačni koeficijent prolaza topline iznosi 117.5 W/(m²K). Radna tvar kolektorskog kruga se ohladila sa početnih 55 °C na 50.28 °C.

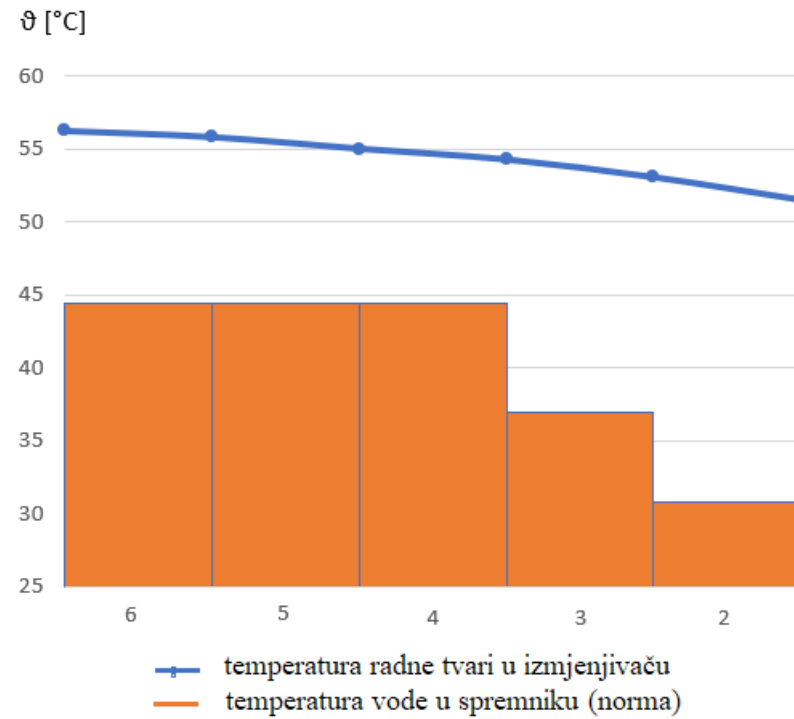
U dijagramu na slici 29. je prikazano opadanje temperature radne tvari tijekom izmjene topline sa vodom u spremniku.



Slika 29. Promjena temperature radne tvari kolektorskog kruga prolaskom kroz izmjenjivač u spremniku (vrijednost temperature potrošne vode je dobivena računalnom simulacijom).

Analogno gornjem proračunu napravljen je proračun u kojem su uzete vrijednosti temperature vode u segmentima izračunate prema normi. Vrijednost koeficijenta prolaza topline je uzeta iz prethodnog proračuna tako da se proračun vodio iterativno pogadanjem ulazne temperature radne tvari sve dok se ne bi zadovoljio ukupni toplinski tok.

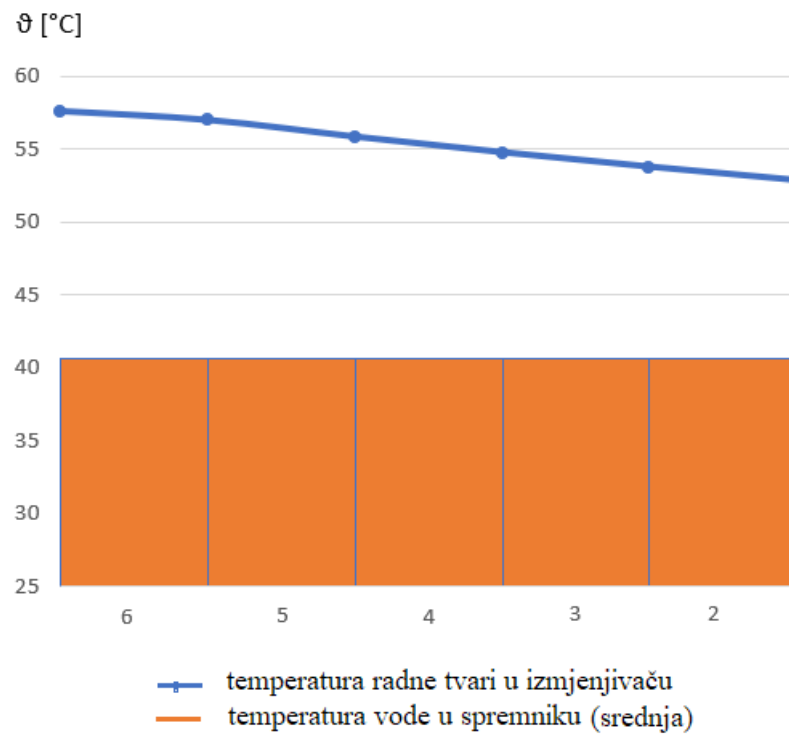
U dijagramu na slici 30. se vidi kako temperatura radne tvari kolektorskog kruga opada prolaskom kroz izmjenjivač topline u spremniku sa $56.25\text{ }^{\circ}\text{C}$ na $51.25\text{ }^{\circ}\text{C}$, što uzrokuje pad temperature od $4.73\text{ }^{\circ}\text{C}$ u odnosu na prvi slučaj kada te temperatura radnog fluida pala za $4.72\text{ }^{\circ}\text{C}$.



Slika 30. Promjena temperature radne tvari kolektorskog kruga prolaskom kroz izmjenjivač u spremniku (vrijednost temperature potrošne vode je dobivena prema normi).

Analogno gornjem slučaju napravljen je proračun gdje se za temperaturu PTV-a uzete srednja vrijednost temperature vode u cijelom spremniku koja se dobije klasičnim termodinamičkim proračunom (ovdje je korištena srednja vrijednost temperature vode dobivenih proračunom prema normi).

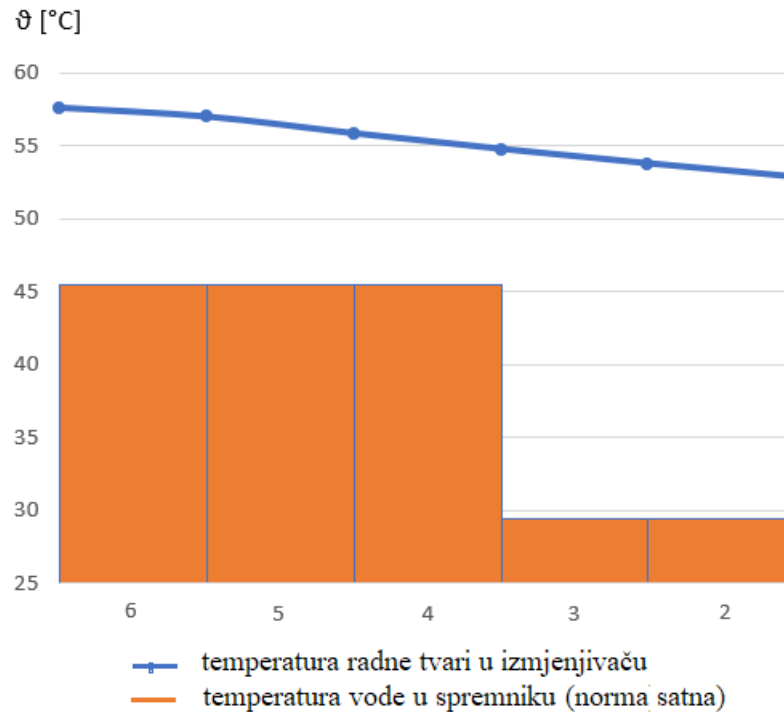
U dijagramu na slici 31. se vidi kako temperatura radne tvari ohladi prolaskom kroz izmjenjivač sa početnih 57.55°C na 52.83°C .



Slika 31. Promjena temperature radne tvari kolektorskog kruga prolaskom kroz izmjenjivač u spremniku (vrijednost temperature potrošne vode je dobivena klasičnim termodinimačkim proračunom).

U zadnjem slučaju je napravljen proračun sa vrijednostima PTV-a dobivenih satnom simulacijom prema normi. U ovom je slučaju radi zadovoljavanja toplinskog toka temperatura radne tvari pala sa 54.63°C na 49.91°C prolaskom kroz izmjenjivač.

U dijagramu na slici 32. se vidi kako temperatura radne tvari opada opada prolaskom kroz izmjenjivač.



Slika 32. Promjena temperature radne tvari kolektorskog kruga prolaskom kroz izmjenjivač u spremniku (vrijednost temperature PTV-a je dobivena prema normi (satna)).

Dalje je zanimljivo vidjeti kako dobivene vrijednosti temperature radne tvari kolektorskog kruga utječu na stupanj efikasnosti pločastog kolektora auro THERM Vaillant VFK 145/2 i na stupanj efikasnosti vakuumskog kolektora auro THERM Vaillant VTK 570/2.

Jednadžbe preko koje se računaju stupnjevi efikasnosti kolektora su dobivene od proizvođača te one glase:

$$\eta_{kol;pločasti} = 0.79 - 3.721 \cdot \frac{\vartheta_{f,sr} - \vartheta_z}{G_{sun}} - 0.016 \cdot \frac{(\vartheta_{f,sr} - \vartheta_z)^2}{G_{sun}} \quad (10.3)$$

$$\eta_{kol;vakuumski} = 0.642 - 0.885 \cdot \frac{\vartheta_{f,sr} - \vartheta_z}{G_{sun}} - 0.001 \cdot \frac{(\vartheta_{f,sr} - \vartheta_z)^2}{G_{sun}} \quad (10.4)$$

Pri čemu je srednja temperatura radnog fluida $\vartheta_{f,sr}$ aritmetička sredina temperature sa kojom fluid ulazi u izmjenjivač i temperature sa kojom izlazi iz izmjenjivača u spremniku. Srednja temperatura vanjskog zraka u srpnju je $\vartheta_z = 26^\circ\text{C}$. Sunčev upadno zračenje na nagnutu plohu G_{sun} iznosi 593.14 W u 13 sati na području Zagreba.

U tablici 18. su dane vrijednosti stupnja efikasnosti pločastog i vakuumskog kolektora gdje se vidi da apsolutne razlike dobivenih stupnjeva efikasnosti kolektora ne odstupaju značajnije.

Tablica 18. Usporedba stupnjeva efikasnosti pločastog i vakumskog kolektora u slučajevima kada se u proračun ulazilo sa temperaturom potrošne vode dobivene računalnom simulacijom, računom prema normi i klasičnim termodinamičkim proračunom.

| | Fluent | Norma | Term. pror. | Norma (satna) | Fluent- Norma | Fluent- Term. pror | Fluent- Norma(satna) |
|------------------------|--------|--------|----------------|------------------|------------------|--------------------------|-------------------------|
| $\eta_{kol;pločasti}$ | 60.37% | 59.41% | 58.39% | 60.66% | 0.96% | 1.98% | -0.29% |
| $\eta_{kol;vakuumski}$ | 60.11% | 59.91% | 59.70% | 60.16% | 0.20% | 0.41% | -0.05% |

Iz ove analize gdje se uspoređuju vrijednosti stupnja efikasnosti kolektora u tri slučaja proizlaze određeni zaključci koji su navedeni u idućem poglavljtu.

11. ZAKLJUČAK

Glavni smisao ovog rada je vidjeti kako dinamički karakter solarnog spremnika uzimajući u obzir i temperaturnu stratifikaciju potrošne tople vode unutar njega ima utjecaj na stupanj efikasnosti kolektora.

Zbog izuzetno složenog dinamičkog karaktera realnog spremnika nije moguće napraviti analitički proračun temperature vode u solarnom spremniku, stoga su dinamičkom modelu uvedena određena pojednostavljenja s ciljem usporedbe dobivenih rezultata.

Prilikom projektiranja solarnog toplovodnog sustava potrebno je uzeti u obzir vrijeme potrebno da se napravi proračun i ekonomska isplativost, stoga inženjerska praksa često nalaže pojednostavljene proračune. U ovome je radu stoga zanimljivo vidjeti kolika su odstupanja rezultata dobivenih računalnom dinamičkom simulacijom numeričkog modela u programu ANSYS Fluent od onih rezultata dobivenih proračunom prema normi HRN EN 15316-5:2017 i klasičnim termodinamičkim proračunom. Potrebno je ovdje napomenuti da je norma namijenjena satnoj metodi koja je za potrebe ovog rada provedena na minutnom vremenskom koraku prilikom potrošnje PTV-a.

Temperaturno polje dobiveno računalnom simulacijom nam daje jasniju sliku dinamičkog ponašanja u solarnom spremniku, ali potrebno je izuzetno puno vremena kako bi se napravio i izračunao numerički model spremnika. Isto tako treba uzeti u obzir da računalni programski paketi kojima je provodi računalna simulacija nisu besplatni za komercijalnu upotrebu, zahtijevaju puno znanja i bolju računalnu opremu.

Za ocjenu dobivenih rezultata zanimljivo je vidjeti kako dobiveno temperaturno polje u oba slučaja utječe na stupanj efikasnosti kolektora. Kako je u proračunu prema normi spremnik podijeljen na 13 segmenata jednakih volumena bilo je potrebno rezultate dobivene računalnom simulacijom uprosječiti za te iste segmente kako bi rezultati bili usporedivi. Usporedbom dobivenih temperatura po pojedinim segmentima uočena su određena temperaturna odstupanja koja su izraženija u nižim segmentima u kojima se nalazi solarni izmjenjivač. Dalje se preko tih dobivenih vrijednosti temperature PTV-a uz određene pretpostavke i pojednostavljenja računala temperatura radnog fluida u solarnom izmjenjivaču.

Iz dobivenih vrijednosti temperature radnog fluida se računao stupanj efikasnosti za pločasti kolektor auro THERM Vaillant VFK 145/2 i vakuumski kolektor auro THERM Vaillant VTK 570/2 prema jednadžbama dobivenih od proizvođača.

Apsolutna razlika stupnjeva efikasnosti između vrijednosti dobivenih proračunom u koji se ulazilo sa temperaturom PTV-a dobivene preko računalne simulacije i temperaturom PTV-a dobivene prema normi je iznosila 0.96% za pločasti i 0.20% za vukuumski kolektor.

Nisu značajnije odstupale ni vrijednosti stupnjeva efikasnosti dobivene preko proračuna u koji se ulazilo sa temperaturom PTV-a dobivene preko klasičnog termodinamičkog proračuna.

Apsolutna razlika u odnosu na računalnu simulaciju je iznosila 1.98% za pločasti i 0.41% za vakuumski kolektor.

Stupnjevi efikasnosti kolektora dobiveni jednostavnijim termodinimačkim proračunom (uniformna temperatura vode u cijelom spremniku) ne odstupaju značajnije od onih dobivenih zahtjevnijim proračunima (računalna simulacija, norma) stoga se zaključuje kako klasični termodinamički proračun sasvim dovoljan prilikom računanja stupnja efikasnosti kolektora.

Ipak ove rezultate treba uzeti s oprezom. Potrebno je provesti simulacije cijelog sustava (uključujući i sam kolektor) sa dužim trajanjem simulacija (npr. jedan dan ili više).

LITERATURA

- [1] Petar Kulušić, Jadranka Vuletin, Ivan Zulim, Sunčane Čelije, Školska knjiga, Zagreb, 1994
- [2] Damir Dović, Obnovljivi izvori energije, Uporaba sunčeve energije u termotehničkim sustavima, Fakultet strojarstva i brodogradnje Zagreb, 2012
- [3] International energy agency, www.iea.org
- [4] Toplinske tablice, FSB Zagreb, 2011
- [5] Damir Dović, Numerička i eksperimentalna studija sunčevog kolektora s valovitim apsorberom, Doktorski rad 2005
- [6] Mehanika fluida II, FSB Zagreb, 2013/2014

PRILOZI

I. CD-R